

ผลการทดลอง

4.1 องค์ประกอบของวัตถุดิบ

เตรียมแบ่งจากถั่วเหลืองพันธุ์ ส.จ. 5 ทั้ง 2 ถั่วเพาะปลูกโดยบดถั่วเหลืองทั้งเมล็ดด้วยเครื่องบดชนิด pin mill แล้ววิเคราะห์องค์ประกอบ ผลการวิเคราะห์มีดังแสดงในตารางที่ 4.1

ตารางที่ 4.1 องค์ประกอบของถั่วเหลืองพันธุ์ ส.จ.5 จากสถานีทดลองปลูกพืชไร่จังหวัดพะเยา

องค์ประกอบ <sup>a</sup>	ค่าเฉลี่ย (ร้อยละ) ± ค่าเบี่ยงเบนมาตรฐาน	
	ถั่วเพาะปลูก	เมษายน-พฤษภาคม กรกฎาคม-สิงหาคม
ความชื้น	9.35 ± 0.18	9.22 ± 0.12
โปรตีน	47.23 ± 0.26	47.17 ± 0.25
ไขมัน	26.47 ± 0.72	26.18 ± 0.68
เถ้า	5.01 ± 0.04	5.05 ± 0.06
เส้นใย	4.36 ± 0.13	4.31 ± 0.13
คาร์โบไฮเดรต	16.94 ± 0.79	17.28 ± 0.77

a เฉพาะความชื้นคำนวณเป็น wet basis องค์ประกอบอื่นทั้งหมดคำนวณเป็น dry basis

ตารางที่ 4.2 การวิเคราะห์ความแปรปรวนองค์ประกอบของถั่วเหลืองพันธุ์ ส.จ.5

SOV	d.f	MS					
		ความชื้น	โปรตีน	ไขมัน	เถ้า	เส้นใย	คาร์โบไฮเดรต
Treatment (ฤดูเพาะปลูก)	1	0.041	0.007	0.207	0.005	0.005	0.289
Error	8	0.024	0.065	0.492	0.003	0.017	0.610

จากการวิเคราะห์ข้อมูลทางสถิติแบบ CRD ของแต่ละองค์ประกอบถั่วเหลือง จาก 2 ฤดูเพาะปลูก พบว่าความแตกต่างไม่มีนัยสำคัญ ( $p \leq 0.05$ )

#### 4.2 สภาวะที่เหมาะสมในการสกัดโปรตีนจากถั่วถุดิบ

สกัดโปรตีนจากถั่วเหลืองพันธุ์ ส.จ.5 ทั้งเมล็ด ศึกษาสภาวะที่เหมาะสมในการสกัด ได้แก่ pH ของสารสกัด เวลาสกัด และอัตราส่วนถั่วต่อสารสกัด

##### 4.2.1 อิทธิพลของ pH

แปร pH ของสารสกัดจาก 7-12 โดยเพิ่มครั้งละ 1 หน่วย pH ใช้อัตราส่วนถั่วต่อสารสกัด 1:8 สกัดนาน 8 นาที ปริมาณโปรตีนที่สกัดได้และผลการวิเคราะห์ข้อมูลแสดงในตารางที่ 4.3-4.4

ศูนย์วิทยทรัพยากร  
จุฬาลงกรณ์มหาวิทยาลัย

ตารางที่ 4.3 ผลของ pH ต่อปริมาณโปรตีนที่สกัดได้ เมื่อใช้เวลาสกัด 8 นาทีและใช้อัตราส่วน ถั่วต่อน้ำเป็น 1:8

pH	ค่าเฉลี่ยปริมาณโปรตีน(ร้อยละ) $\pm$ ค่าเบี่ยงเบนมาตรฐาน
7	68.72 <sup>a</sup> $\pm$ 0.94
8	69.46 <sup>a</sup> $\pm$ 1.03
9	69.37 <sup>a</sup> $\pm$ 1.05
10	70.42 <sup>a</sup> $\pm$ 0.99
11	78.87 <sup>b</sup> $\pm$ 0.68
12	77.95 <sup>b</sup> $\pm$ 0.78

a,b... ตัวเลขที่มีอักษรกำกับต่างกันจากแถวเดียวกันแตกต่างอย่างมีนัยสำคัญ ( $p \leq 0.05$ )

ตารางที่ 4.4 การวิเคราะห์ความแปรปรวนปริมาณโปรตีนที่สกัดได้เมื่อแปร pH ของสารสกัด

SOV	d.f	MS
Treatment (pH)	5	64.777 <sup>*</sup>
Error	12	0.800

\* แตกต่างอย่างมีนัยสำคัญ ( $p \leq 0.05$ )

จากการวางแผนและวิเคราะห์ข้อมูลแบบ CRD พบว่าสารสกัด pH 11-12 ที่เวลาสกัด 8 นาที อัตราส่วนถั่วต่อสารสกัด 1:8 ให้ปริมาณโปรตีนสูงสุด จึงเลือก pH 11 ไว้ใช้ในการทดลอง  
ขั้นต่อไป

#### 4.2.2 อิทธิพลของเวลาในการสกัด

แปรเวลาสกัดเป็น 8, 10, 15 และ 20 นาที ใช้อัตราส่วนถั่วต่อสารสกัด (pH11) 1:8 ปริมาณโปรตีนที่สกัดได้และผลการวิเคราะห์ข้อมูลแสดงในตารางที่ 4.5-4.6

ตารางที่ 4.5 ผลของเวลาสกัดต่อปริมาณโปรตีนที่สกัดได้ เมื่อใช้อัตราส่วนแก้วต่อสารสกัด 1 : 8 สารสกัด pH 11

เวลาสกัด (นาที)	ค่าเฉลี่ยปริมาณโปรตีน(ร้อยละ) $\pm$ ค่าเบี่ยงเบนมาตรฐาน
8	78.22 $\pm$ 0.55
10	77.95 $\pm$ 1.04
15	78.10 $\pm$ 0.96
20	78.92 $\pm$ 1.94

ตารางที่ 4.6 การวิเคราะห์ความแปรปรวนปริมาณโปรตีนที่สกัดได้เมื่อแปรเวลาสกัด

SOV	df	MS
Treatment ( เวลาสกัด )	3	0.737
Error	12	1.723

จากการวางแผนและวิเคราะห์ข้อมูลแบบ CRD พบว่าเวลาสกัด 8, 10, 15 และ 20 นาที ที่อัตราส่วนแก้วต่อสารสกัด 1:8 ให้ปริมาณโปรตีนไม่ต่างกัน ( $p \leq 0.05$ ) จึงเลือก 8 นาที ไว้ใช้ในการทดลองขั้นต่อไป

#### 4.2.3 อิทธิพลของอัตราส่วนระหว่างแก้วต่อสารสกัด

แปรอัตราส่วนแก้วต่อสารสกัด (pH11) เป็น 1:8, 1:10, 1:12 และ 1:14 สกัดนาน 8 นาที ปริมาณโปรตีนที่สกัดได้และผลการวิเคราะห์ข้อมูลแสดงในตารางที่ 4.7-4.8

จุฬาลงกรณ์มหาวิทยาลัย

ตารางที่ 4.7 ผลของอัตราส่วนระหว่างถั่วต่อสารสกัดต่อปริมาณโปรตีนที่สกัดได้ เมื่อใช้สารสกัด pH 11 สกัดนาน 8 นาที

อัตราส่วนถั่วต่อสารสกัด	ค่าเฉลี่ยปริมาณโปรตีน(ร้อยละ) $\pm$ ค่าเบี่ยงเบนมาตรฐาน
1 : 8	79.30 $\pm$ 0.77
1 : 10	81.88 $\pm$ 2.01
1 : 12	81.75 $\pm$ 2.39
1 : 14	81.60 $\pm$ 2.23

ตารางที่ 4.8 การวิเคราะห์ความแปรปรวนปริมาณโปรตีนที่สกัดได้ เมื่อแปรอัตราส่วนถั่วต่อสารสกัด

SOV	d.f	MS
Treatment (อัตราส่วนถั่วต่อสารสกัด)	3	6.008
Error	12	3.828

จากการวางแผนและวิเคราะห์ข้อมูลแบบ CRD พบว่าอัตราส่วนถั่วต่อสารสกัด 1:8, 1:10, 1:12 และ 1:14 ให้ปริมาณโปรตีนไม่ต่างกัน ( $p \leq 0.05$ ) จึงเลือกอัตราส่วนถั่วต่อสารสกัด 1 : 8 ไว้ใช้ในการทดลองขั้นต่อไป และสภาวะเหมาะสมสำหรับการสกัดที่สรุปได้คือ ใช้สารสกัด pH11 อัตราส่วนถั่วต่อสารสกัด 1:8 เวลาสกัด 8 นาที

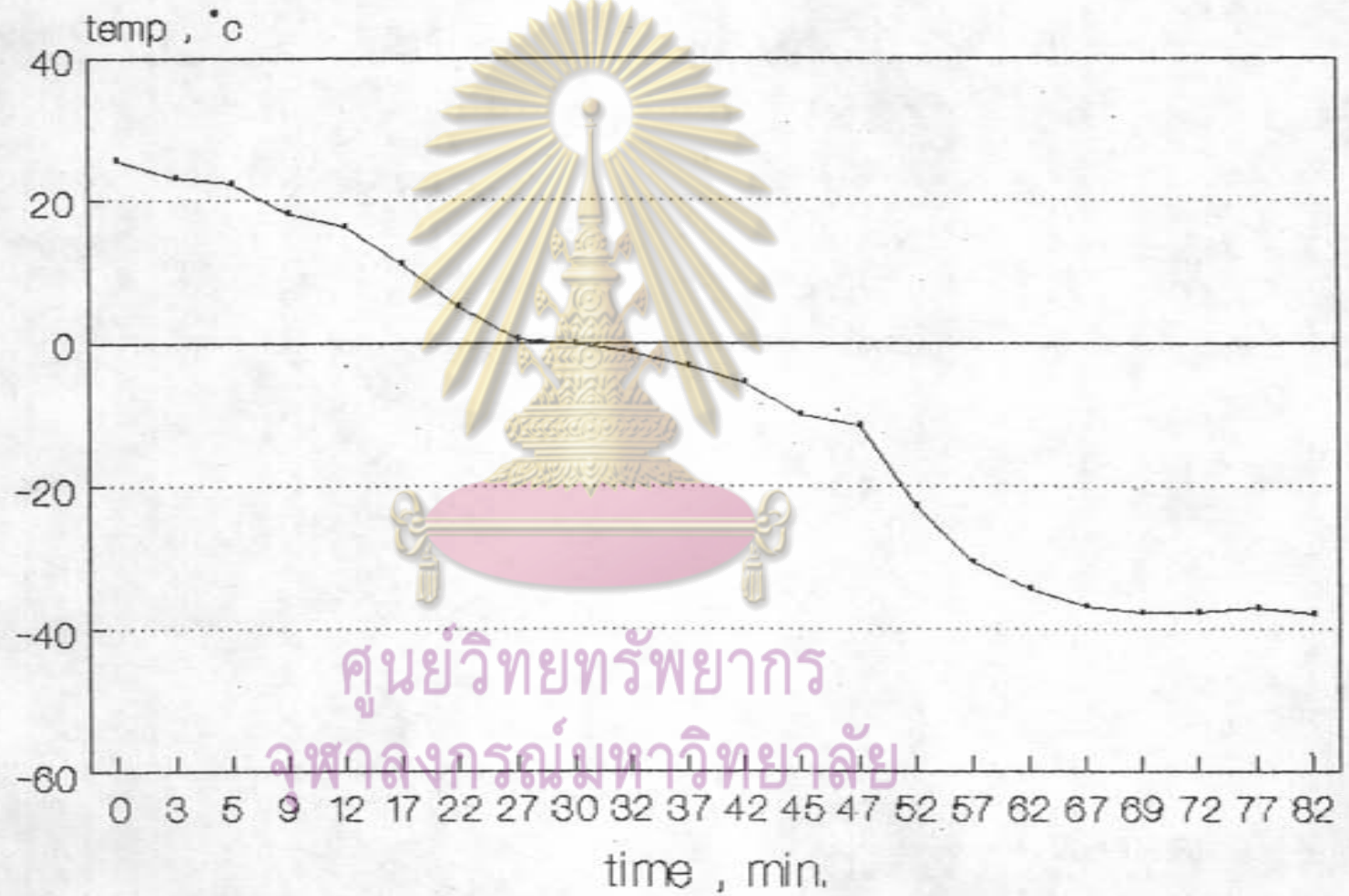
#### 4.3. สภาวะที่เหมาะสมในการแปลงเนื้อสัมผัสโปรตีนถั่วเหลือง โดยวิธีแช่แข็ง

จากสภาวะสกัดที่เหมาะสมซึ่งสรุปได้จากข้อ 4.2 สกัดโปรตีนจากถั่วเหลือง นำโปรตีน slurry ที่ได้มาศึกษาสภาวะและวิธีแช่แข็งที่เหมาะสม โดยแปรปริมาณของแข็งทั้งหมดเป็นร้อยละ 10, 15 และ 20 แช่แข็งด้วยวิธี plate และวิธีใช้คาร์บอนไดออกไซด์แข็ง ขณะแช่แข็งวัดการเปลี่ยนแปลงของอุณหภูมิและเวลาในผลิตภัณฑ์แช่แข็ง ดังรูปที่ 4.1-4.6 เมื่อแช่แข็งผลิตภัณฑ์จนได้ อุณหภูมิสุดท้ายตามต้องการแล้วกำจัดผลึกน้ำแข็งโดยแทนที่ด้วย 95% ethyl alcohol และวิธี freeze drying ผลของปริมาณของแข็งทั้งหมดในโปรตีน slurry วิธีแช่แข็ง และวิธีกำจัดผลึกน้ำแข็ง ต่อโครงสร้างเส้นใยโปรตีนซึ่งบันทึกด้วย scanning electron microscope

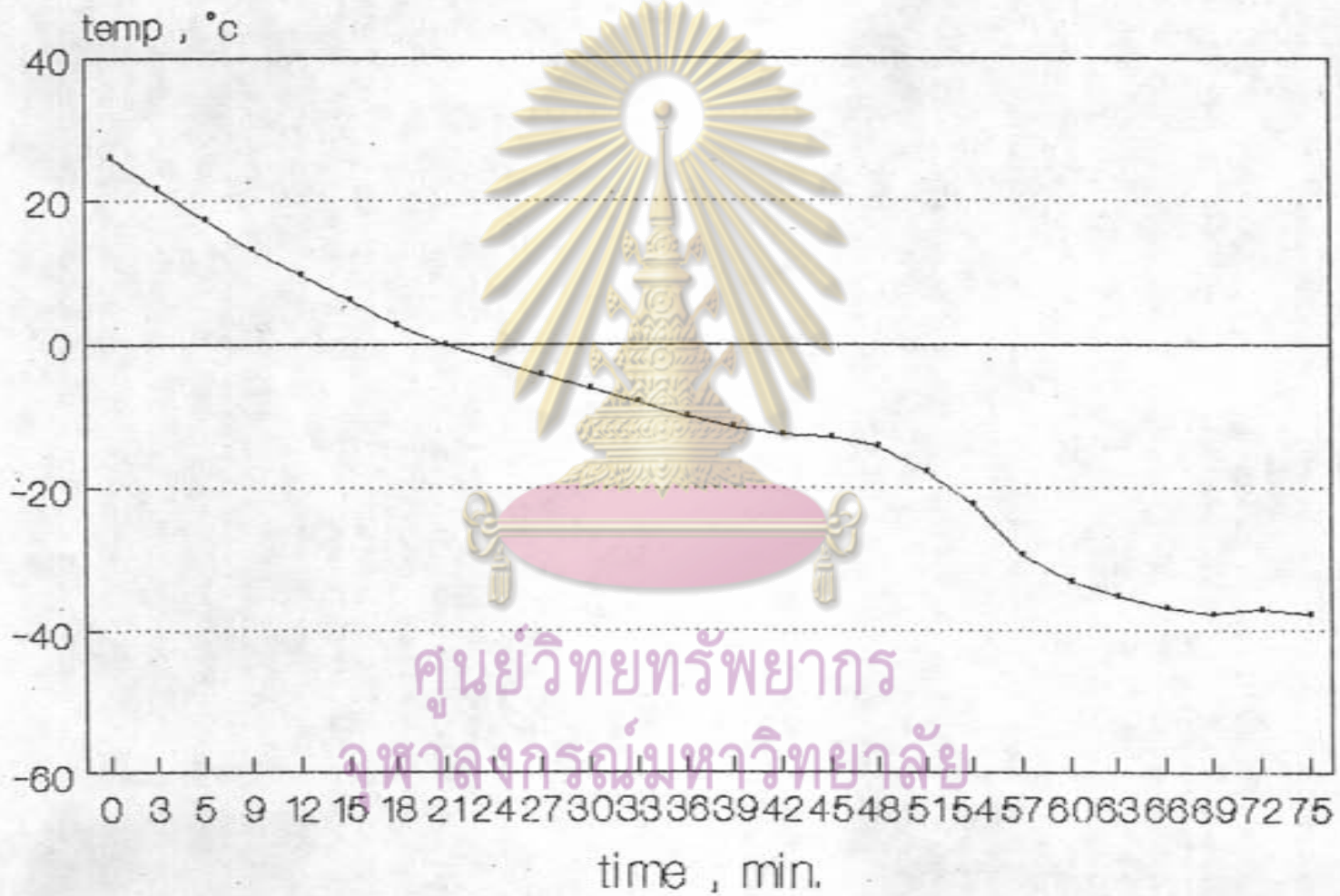
ค่า shear strength และคะแนนคุณภาพเนื้อสัมผัสของโปรตีนแปลงเนื้อสัมผัส แสดงในรูปที่ 4.7-4.19 และตารางที่ 4.10-4.15 ตามลำดับ



ศูนย์วิทยทรัพยากร  
จุฬาลงกรณ์มหาวิทยาลัย



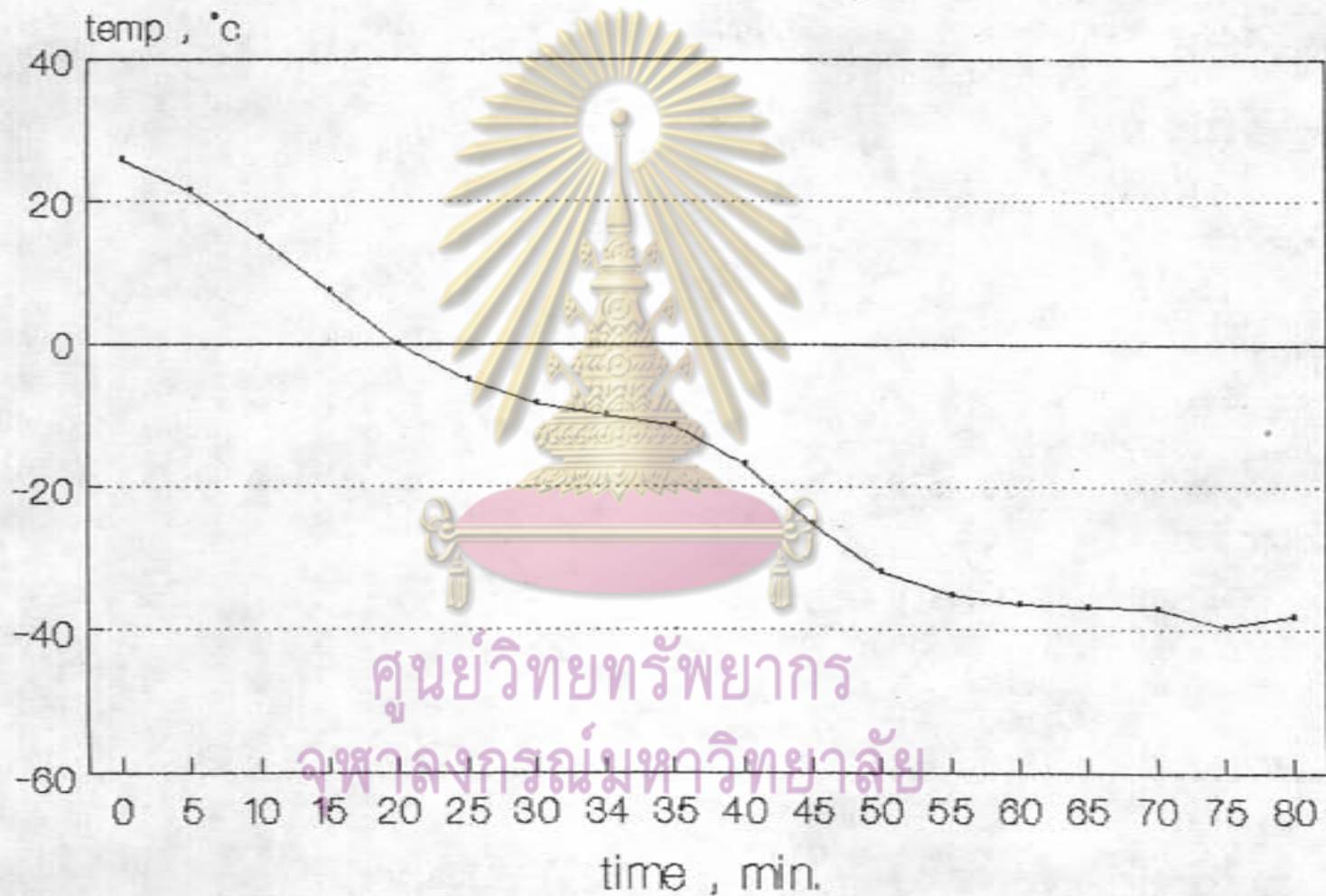
รูปที่ 4.1 การเปลี่ยนแปลงอุณหภูมิของโปรตีน slurry ที่มีของแข็งทั้งหมดร้อยละ 10  
เมื่อเวลาในการแช่แข็งแบบ plate เพิ่มขึ้น



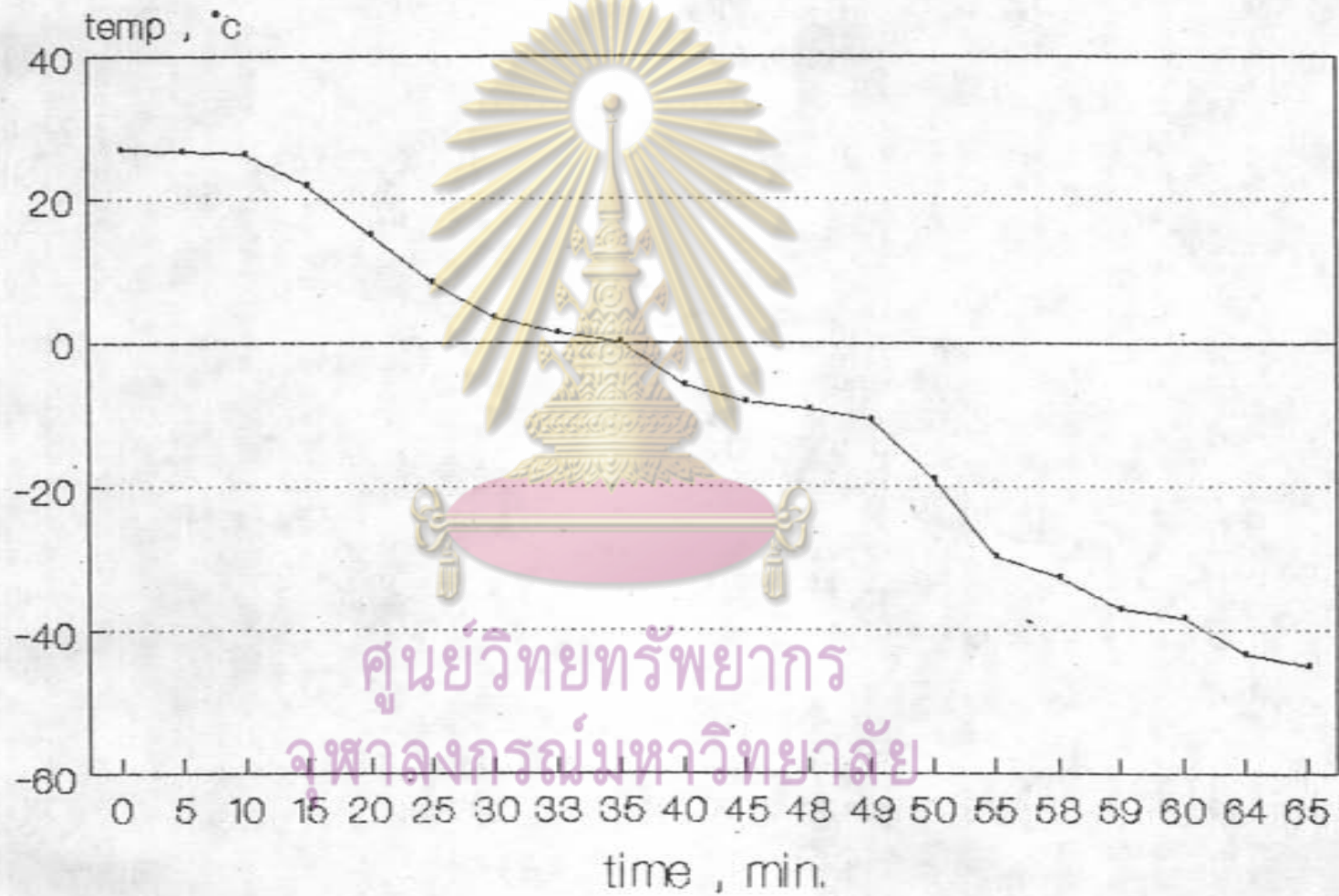
ศูนย์วิทยทรัพยากร  
จุฬาลงกรณ์มหาวิทยาลัย

รูปที่ 4.2 การเปลี่ยนแปลงอุณหภูมิของโปรตีน slurry ที่มีของแข็งทั้งหมดร้อยละ 15  
เมื่อเวลาในการแช่แข็งแบบ plate เพิ่มขึ้น



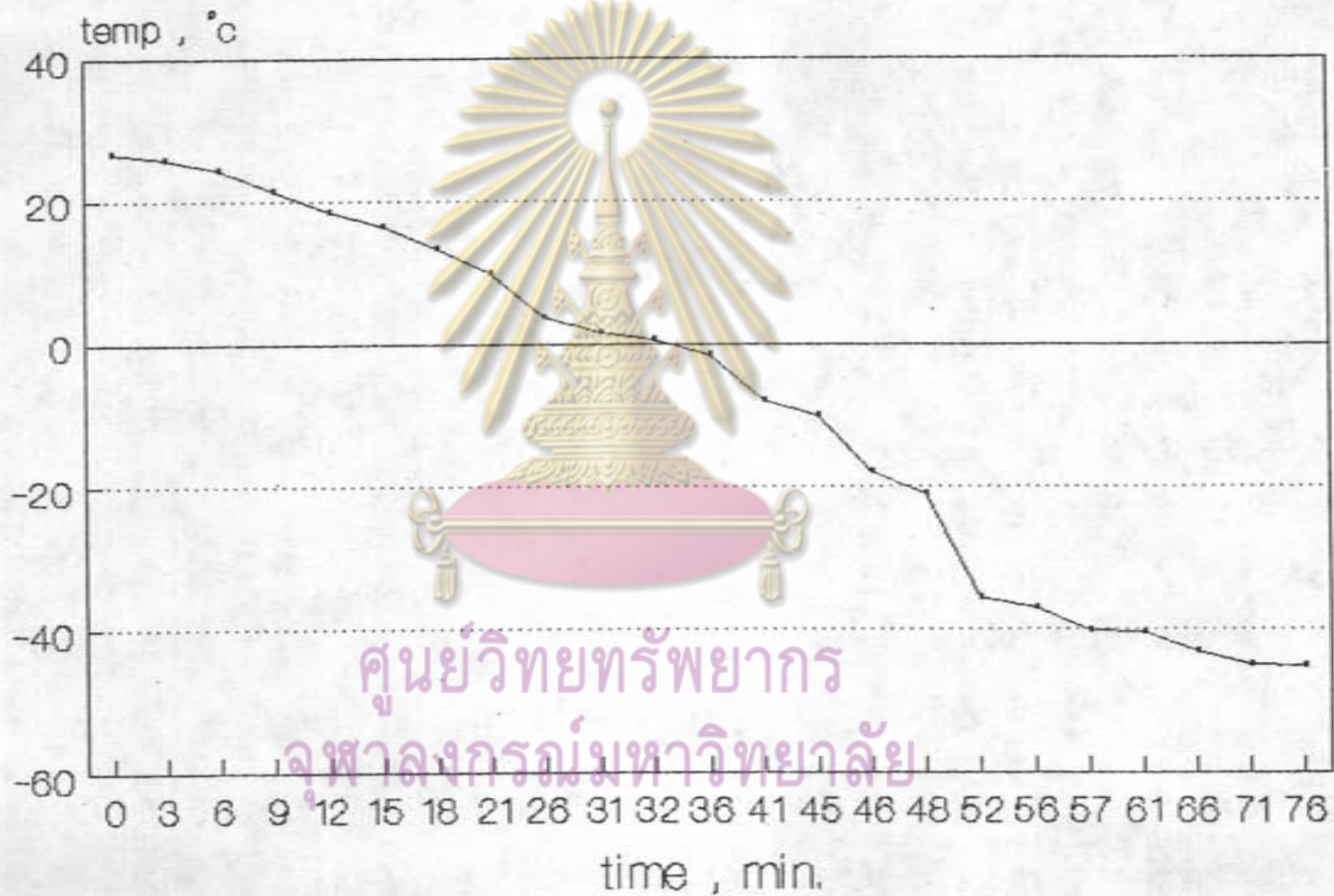


รูปที่ 4.3 การเปลี่ยนแปลงอุณหภูมิของโปรตีน slurry ที่มีของแข็งทั้งหมดร้อยละ 20  
เมื่อเวลาในการแช่แข็งแบบ plate เพิ่มขึ้น

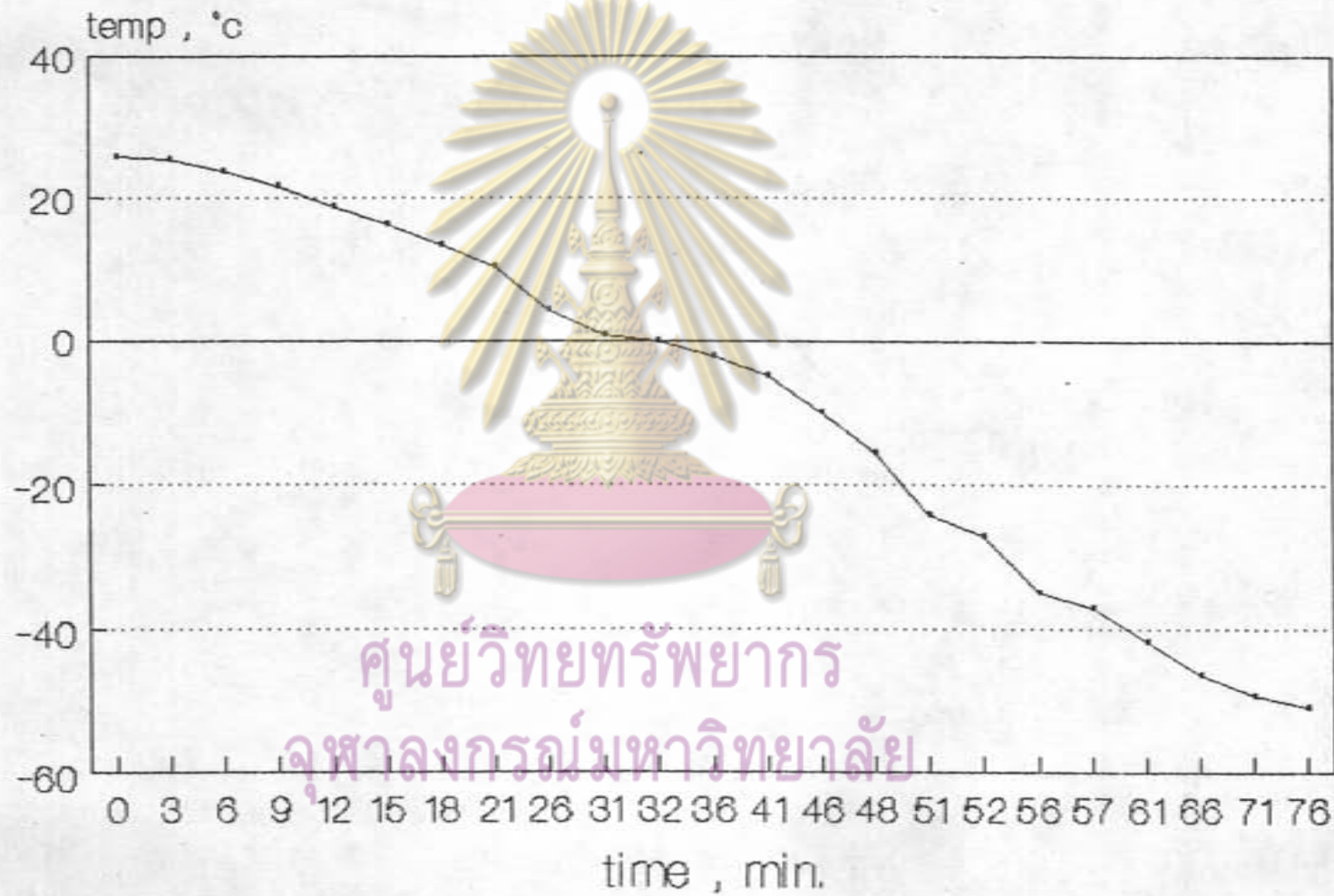


ศูนย์วิทยทรัพยากร  
จุฬาลงกรณ์มหาวิทยาลัย

รูปที่ 4.4 การเปลี่ยนแปลงอุณหภูมิของโพรตีน slurry ที่มีของแข็งทั้งหมดร้อยละ 10 เมื่อเวลาในการแช่แข็งแบบใช้คาร์บอนไดออกไซด์แข็งเพิ่มขึ้น



รูปที่ 4.5 การเปลี่ยนแปลงอุณหภูมิของโปรตีน slurry ที่มีของแข็งทั้งหมดร้อยละ 15  
เมื่อเวลาในการแช่แข็งแบบใช้คาร์บอนไดออกไซด์แข็งเพิ่มขึ้น



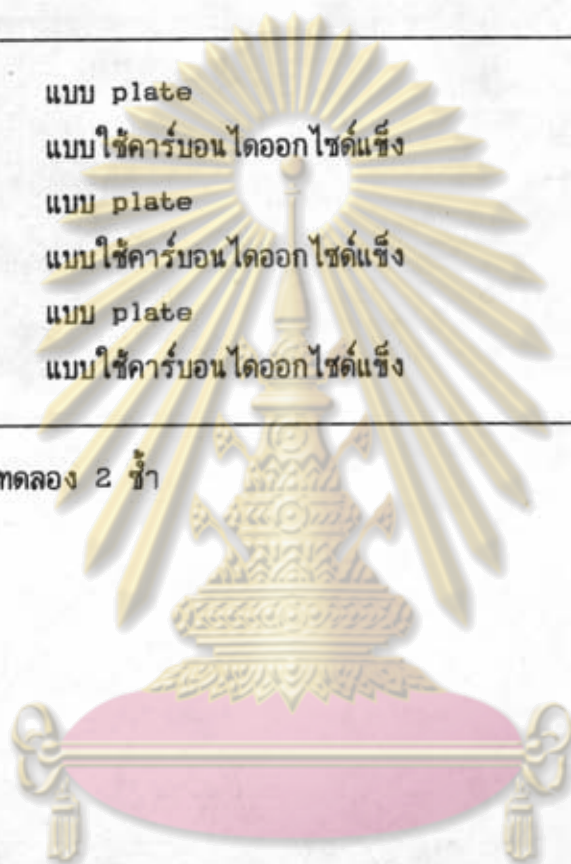
รูปที่ 4.6 การเปลี่ยนแปลงอุณหภูมิของโปรตีน slurry ที่มีของแข็งทั้งหมดร้อยละ 20 เมื่อเวลาในการแช่แข็งแบบใช้คาร์บอนไดออกไซด์แข็งเพิ่มขึ้น

จากรูปที่ 4.1-4.6 สรุปเวลาในการแช่แข็งแต่ละวิธีดังตารางที่ 4.9

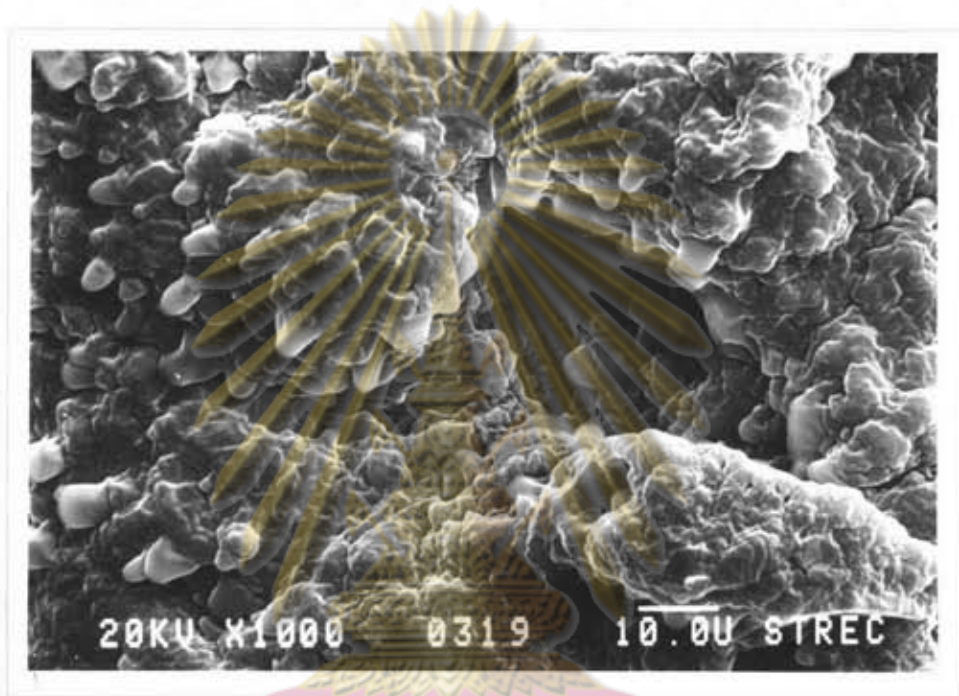
ตารางที่ 4.9 เวลาในการแช่แข็งโปรตีน slurry ที่สภาวะต่างๆ

ปริมาณของแข็งทั้งหมด (ร้อยละ)	วิธีแช่แข็ง	เวลาแช่แข็งเฉลี่ย (นาที) <sup>a</sup> ± ค่าเบี่ยงเบนมาตรฐาน
10	แบบ plate	67.0 ± 1.0
	แบบใช้คาร์บอน ไดออกไซด์แช่แข็ง	59.0 ± 1.5
15	แบบ plate	66.0 ± 2.0
	แบบใช้คาร์บอน ไดออกไซด์แช่แข็ง	56.0 ± 1.5
20	แบบ plate	60.0 ± 2.0
	แบบใช้คาร์บอน ไดออกไซด์แช่แข็ง	57.0 ± 1.0

a ค่าเฉลี่ยจากการทดลอง 2 ซ้ำ

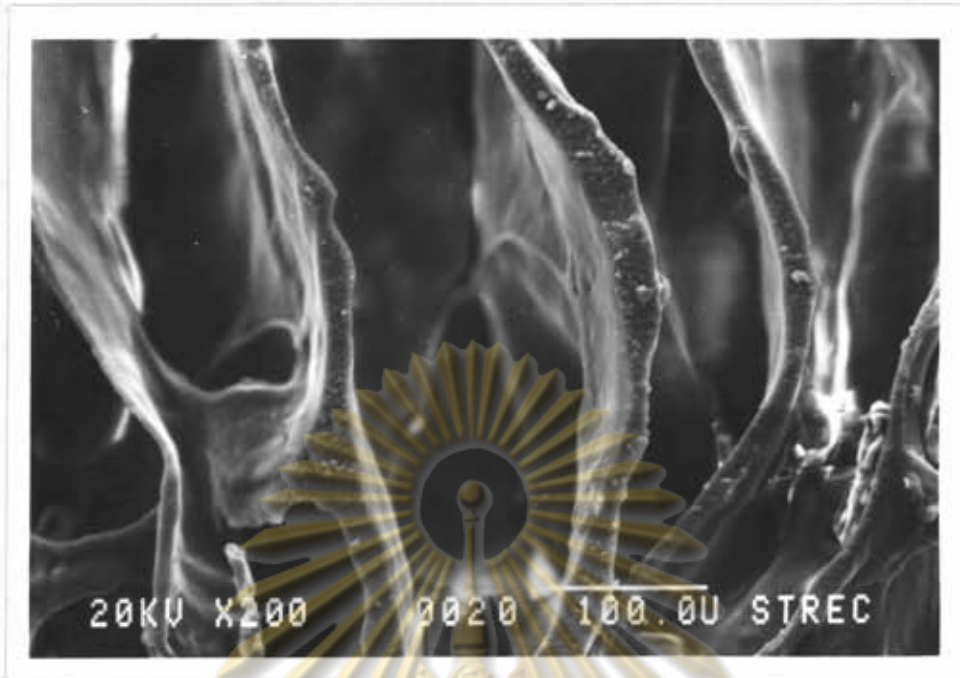


ศูนย์วิทยทรัพยากร  
จุฬาลงกรณ์มหาวิทยาลัย

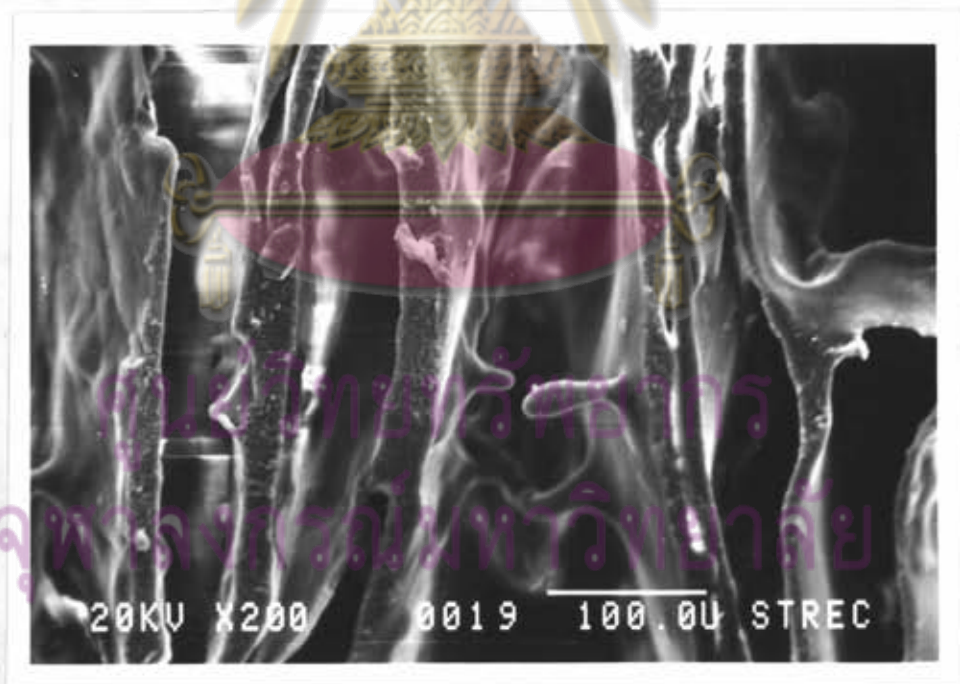


รูปที่ 4.7 โครงสร้างตะกอนโปรตีนแก้วเหลืองที่สกัดด้วยต่างและตกตะกอนด้วยกรด  
(บันทึกด้วยเครื่อง scanning electron microscope)

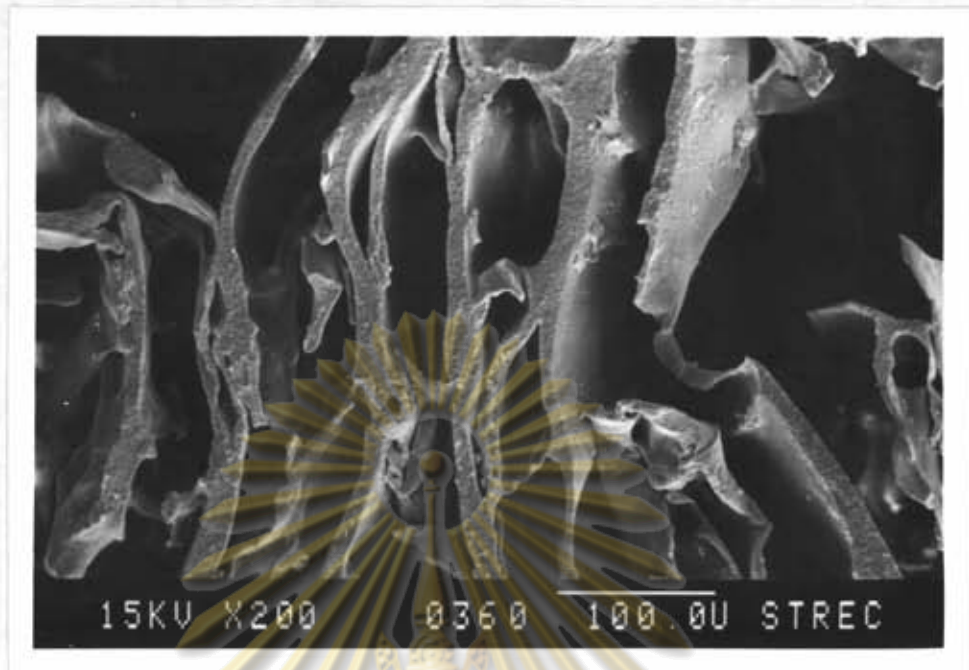
ศูนย์วิทยทรัพยากร  
จุฬาลงกรณ์มหาวิทยาลัย



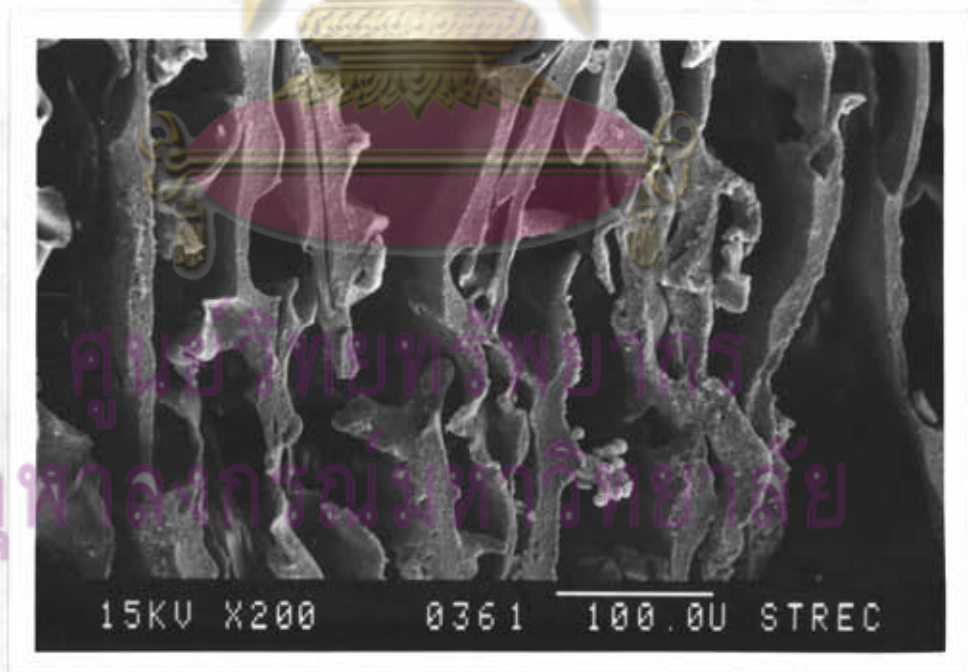
รูปที่ 4.8 โครงสร้างโปรตีนแปลงเนื้อสัมผัสโดยวิธีแช่แข็งจากโปรตีน slurry ซึ่งมีของแข็งทั้งหมดร้อยละ 10 แช่แข็งแบบ plate และกำจัดผลึกน้ำแข็งโดยแทนที่ด้วย 95 % ethyl alcohol (บันทึกด้วยเครื่อง scanning electron microscope)



รูปที่ 4.9 โครงสร้างโปรตีนแปลงเนื้อสัมผัสโดยวิธีแช่แข็งจากโปรตีน slurry ซึ่งมีของแข็งทั้งหมดร้อยละ 10 แช่แข็งแบบใช้คาร์บอนไดออกไซด์แข็ง และกำจัดผลึกน้ำแข็งโดยแทนที่ด้วย 95 % ethyl alcohol (บันทึกด้วยเครื่อง scanning electron microscope)

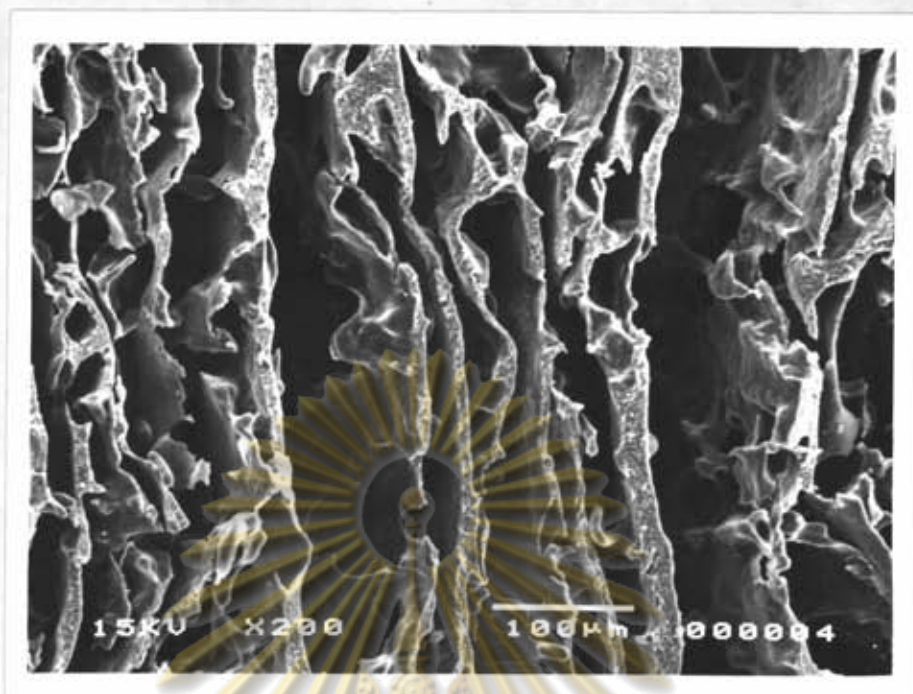


รูปที่ 4.10 โครงสร้างโปรตีนแปลงเนื้อสัมผัสโดยวิธีแช่แข็งจากโปรตีน slurry ซึ่งมีของแข็งทั้งหมดร้อยละ 15 แช่แข็งแบบ plate และกำจัดผลึกน้ำแข็งโดยแทนที่ด้วย 95% ethyl alcohol (บันทึกด้วยเครื่อง scanning electron microscope)



รูปที่ 4.11 โครงสร้างโปรตีนแปลงเนื้อสัมผัสโดยวิธีแช่แข็งจากโปรตีน slurry ซึ่งมีของแข็งทั้งหมดร้อยละ 15 แช่แข็งแบบใช้คาร์บอนไดออกไซด์แช่แข็ง และกำจัดผลึกน้ำแข็งโดยแทนที่ด้วย 95% ethyl alcohol (บันทึกด้วยเครื่อง scanning electron microscope)

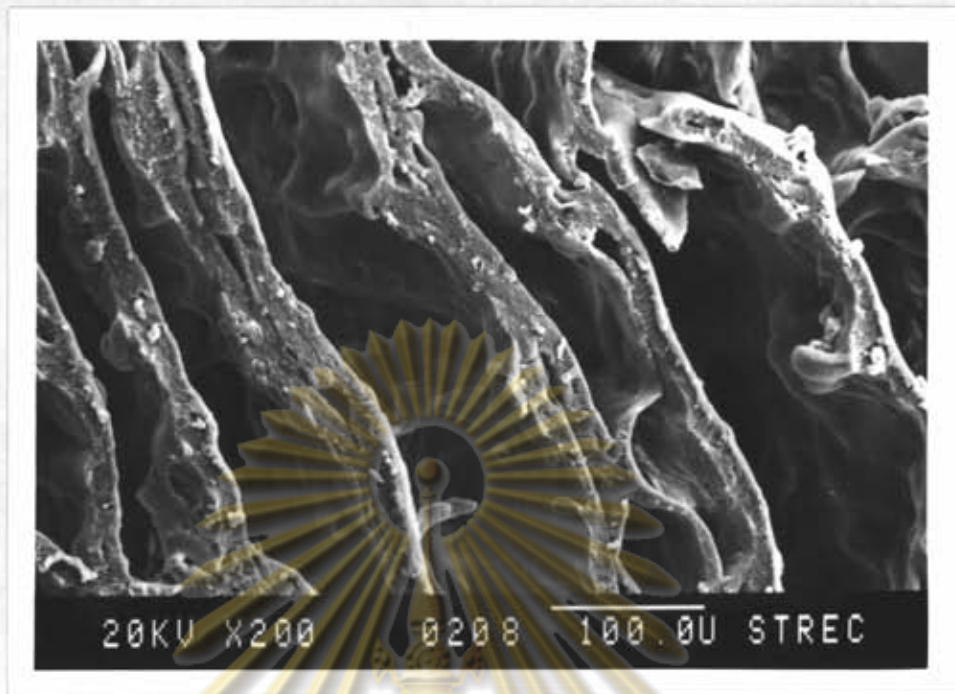




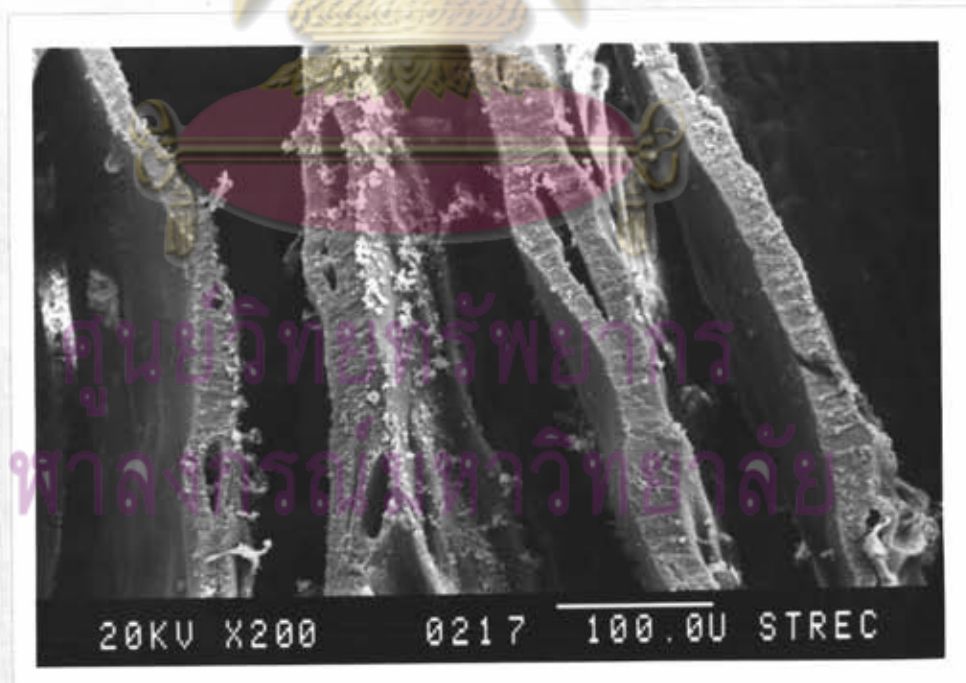
รูปที่ 4.12 โครงสร้างโปรตีนแปลงเนื้อสัมผัสโดยวิธีแช่แข็งจากโปรตีน slurry ซึ่งมีของแข็งทั้งหมดร้อยละ 20 แช่แข็งแบบ plate และกำจัดผลึกน้ำแข็งโดยแทนที่ด้วย 95 % ethyl alcohol (บันทึกด้วยเครื่อง scanning electron microscope)



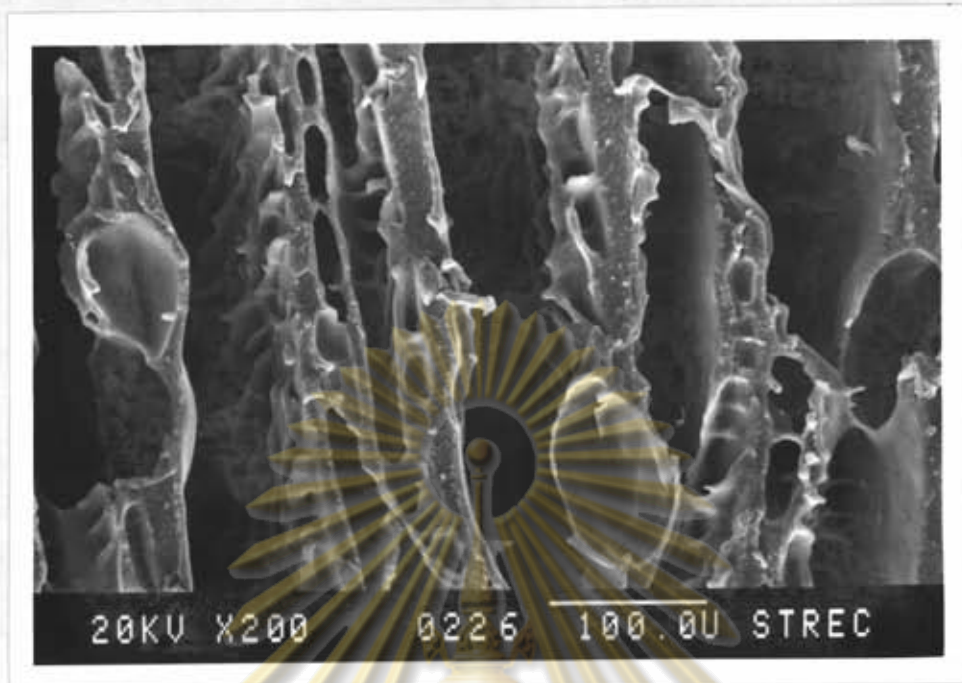
รูปที่ 4.13 โครงสร้างโปรตีนแปลงเนื้อสัมผัสโดยวิธีแช่แข็งจากโปรตีน slurry ซึ่งมีของแข็งทั้งหมดร้อยละ 20 แช่แข็งแบบใช้คาร์บอนไดออกไซด์แช่แข็งและกำจัดผลึกน้ำแข็งโดยแทนที่ด้วย 95 % ethyl alcohol (บันทึกด้วยเครื่อง scanning electron microscope)



รูปที่ 4.14 โครงสร้างโปรตีนแปลงเนื้อสัมผัสโดยวิธีแช่แข็งจากโปรตีน slurry ที่มีของแข็งทั้งหมดร้อยละ 10 แช่แข็งแบบ plate และกำจัดผลึกน้ำแข็งด้วยวิธี freeze drying (บันทึกด้วยเครื่อง scanning electron microscope)



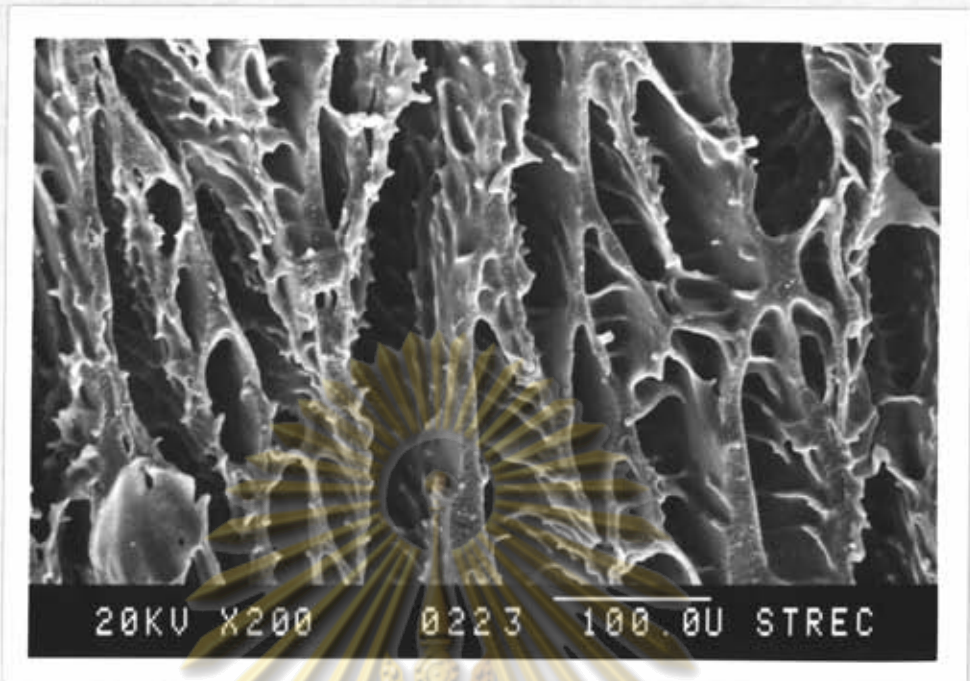
รูปที่ 4.15 โครงสร้างโปรตีนแปลงเนื้อสัมผัสโดยวิธีแช่แข็งจากโปรตีน slurry ที่มีของแข็งทั้งหมดร้อยละ 10 แช่แข็งแบบคาร์บอนไดออกไซด์แข็งและกำจัดผลึกน้ำแข็งด้วยวิธี freeze drying (บันทึกด้วยเครื่อง scanning electron microscope)



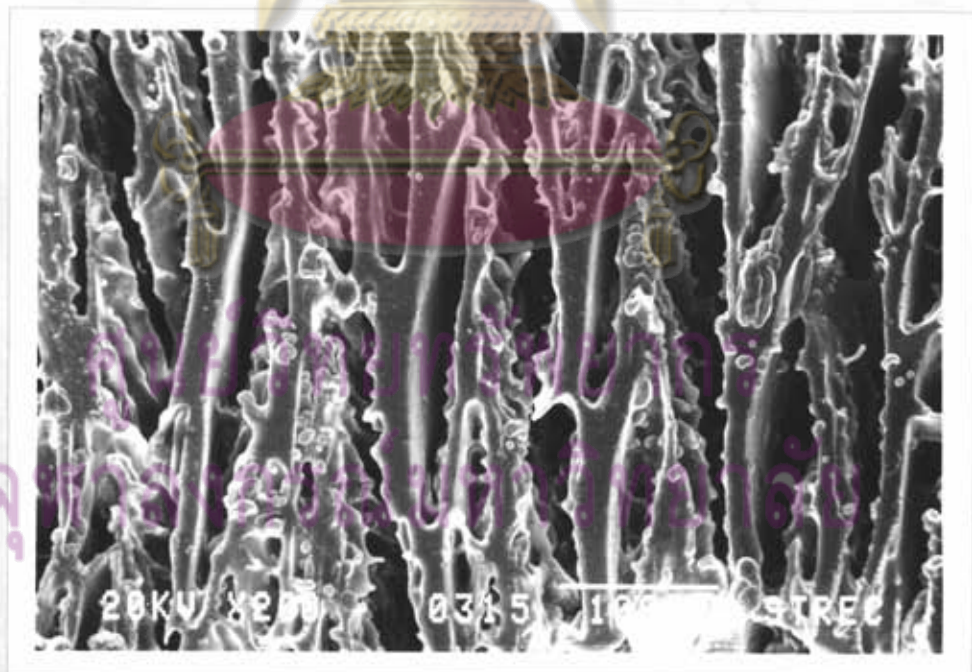
รูปที่ 4.16 โครงสร้างโปรตีนแปลงเนื้อสัมผัสโดยวิธีแช่แข็งจากโปรตีน slurry ที่มีของแข็งทั้งหมดร้อยละ 15 แช่แข็งแบบ plate และกำจัดผลึกน้ำแข็งด้วยวิธี freeze drying (บันทึกด้วยเครื่อง scanning electron microscope)



รูปที่ 4.17 โครงสร้างโปรตีนแปลงเนื้อสัมผัสโดยวิธีแช่แข็งจากโปรตีน slurry ที่มีของแข็งทั้งหมดร้อยละ 15 แช่แข็งแบบคาร์บอนไดออกไซด์แข็ง และกำจัดผลึกน้ำแข็งด้วยวิธี freeze drying (บันทึกด้วยเครื่อง scanning electron microscope)



รูปที่ 4.18 โครงสร้างโปรตีนแปลงเนื้อสัมผัสโดยวิธีแช่แข็งจากโปรตีน slurry ที่มีของแข็งทั้งหมดร้อยละ 20 แช่แข็งแบบ plate และกำจัดผลึกน้ำแข็งด้วยวิธี freeze drying (บันทึกด้วยเครื่อง scanning electron microscope)



รูปที่ 4.19 โครงสร้างโปรตีนแปลงเนื้อสัมผัสโดยวิธีแช่แข็งจากโปรตีน slurry ที่มีของแข็งทั้งหมดร้อยละ 20 แช่แข็งแบบคาร์บอนไดออกไซด์แช่แข็งและกำจัดผลึกน้ำแข็งด้วยวิธี freeze drying (บันทึกด้วยเครื่อง scanning electron microscope)

ตารางที่ 4.10 ผลของปริมาณของแข็งทั้งหมด วิธีแช่แข็งและวิธีกำจัดผลึกน้ำแข็งต่อค่า shear strength ของโปรตีนแปลงเนื้อสัตว์

ปริมาณของแข็งทั้งหมด (ร้อยละ)	วิธีแช่แข็ง	วิธีกำจัดผลึกน้ำแข็ง	ค่า shear strength (N) ± ค่าเบี่ยงเบนมาตรฐาน
10	แบบ plate	95 % ethyl alcohol	18.1 <sup>a</sup> ± 1.3
		freeze drying	18.9 <sup>a</sup> ± 1.7
	แบบใช้คาร์บอนไดออกไซด์แข็ง	95 % ethyl alcohol	17.5 <sup>ab</sup> ± 1.7
		freeze drying	18.7 <sup>a</sup> ± 2.1
15	แบบ plate	95 % ethyl alcohol	14.9 <sup>abc</sup> ± 0.7
		freeze drying	15.4 <sup>abc</sup> ± 1.4
	แบบใช้คาร์บอนไดออกไซด์แข็ง	95 % ethyl alcohol	15.2 <sup>abc</sup> ± 1.4
		freeze drying	15.2 <sup>abc</sup> ± 1.2
20	แบบ plate	95 % ethyl alcohol	12.8 <sup>bc</sup> ± 1.0
		freeze drying	12.9 <sup>bc</sup> ± 0.9
	แบบใช้คาร์บอนไดออกไซด์แข็ง	95 % ethyl alcohol	11.8 <sup>c</sup> ± 1.8
		freeze drying	12.7 <sup>bc</sup> ± 1.1

a,b,c...ตัวเลขที่มีอักษรกำกับต่างกันจากแถวเดียวกันแตกต่างกันอย่างมีนัยสำคัญ ( $p \leq 0.05$ )

ศูนย์วิทยทรัพยากร  
จุฬาลงกรณ์มหาวิทยาลัย

ตารางที่ 4.11 การวิเคราะห์ความแปรปรวนค่า shear strength ของโปรตีนแปลงเนื้อสั้มผัส  
ที่สภาวะต่าง ๆ

SOV	d.f	MS
ปริมาณของแข็งทั้งหมด (A)	2	66.292 <sup>*</sup>
วิธีแช่แข็ง (B)	1	0.603
วิธีการจัดผลึกน้ำแข็ง (C)	1	2.042
AB	2	0.221
AC	1	0.291
BC	2	8.051 x 10 <sup>-2</sup>
ABC	2	0.222
Error	12	3.998

\* แตกต่างอย่างมีนัยสำคัญ ( $P \leq 0.05$ )

ตารางที่ 4.12 ผลของปริมาณของแข็งทั้งหมดต่อค่า shear strength ของโปรตีนแปลงเนื้อสั้มผัส

ปริมาณของแข็งทั้งหมด (ร้อยละ)	ค่า shear strength (N) ± ค่าเบี่ยงเบนมาตรฐาน
10	18.3 <sup>a</sup> ± 1.9
15	15.2 <sup>b</sup> ± 1.2
20	12.5 <sup>c</sup> ± 1.3

a, b, c...ตัวเลขที่มีอักษรกำกับต่างกันจากแถวเดียวกันแตกต่างอย่างมีนัยสำคัญ ( $p \leq 0.05$ )

ตารางที่ 4.13 ผลของปริมาณของแข็งทั้งหมด วิธีแช่แข็ง และวิธีกำจัดผลึกน้ำแข็งต่อคะแนนเนื้อสัมผัสของ โปรตีนแปลงเนื้อสัมผัส

ปริมาณของแข็งทั้งหมด (ร้อยละ)	วิธีแช่แข็ง	วิธีกำจัดผลึกน้ำแข็ง	คะแนนเฉลี่ย $\pm$ ค่าเบี่ยงเบนมาตรฐาน
10	แบบ plate	95 % ethyl alcohol	6.65 <sup>ab</sup> $\pm$ 1.12
		freeze drying	6.82 <sup>a</sup> $\pm$ 1.25
	แบบใช้คาร์บอนไดออกไซด์แข็ง	95 % ethyl alcohol	6.54 <sup>ab</sup> $\pm$ 1.63
		freeze drying	6.90 <sup>a</sup> $\pm$ 1.44
15	แบบ plate	95 % ethyl alcohol	5.63 <sup>bc</sup> $\pm$ 1.36
		freeze drying	5.63 <sup>bc</sup> $\pm$ 1.56
	แบบใช้คาร์บอนไดออกไซด์แข็ง	95 % ethyl alcohol	4.72 <sup>c</sup> $\pm$ 1.10
		freeze drying	4.63 <sup>c</sup> $\pm$ 1.02
20	แบบ plate	95 % ethyl alcohol	3.36 <sup>d</sup> $\pm$ 0.67
		freeze drying	3.27 <sup>de</sup> $\pm$ 1.00
	แบบใช้คาร์บอนไดออกไซด์แข็ง	95 % ethyl alcohol	2.18 <sup>e</sup> $\pm$ 0.40
		freeze drying	2.27 <sup>e</sup> $\pm$ 0.78

a, b, c, d, e... ตัวเลขที่มีอักษรกำกับต่างกันจากแถวเดียวกันแตกต่างกันอย่างมีนัยสำคัญ (  $p \leq 0.05$  )

ศูนย์วิทยทรัพยากร  
จุฬาลงกรณ์มหาวิทยาลัย

ตารางที่ 4.14 การวิเคราะห์ความแปรปรวนคะแนนเนื้อสัมผัสของโปรตีนแปลงเนื้อสัมผัส

SOV	d.f	M.S
ปริมาณของแข็งทั้งหมด (A)	2	172.64 <sup>*</sup>
วิธีแช่แข็ง (B)	1	14.67 <sup>*</sup>
วิธีกำจัดผลึกน้ำแข็ง (C)	1	0.27
AB	2	4.23
AC	2	0.43
BC	1	3.05 x 10 <sup>-2</sup>
ABC	2	5.31 x 10 <sup>-2</sup>
Block	10	0.89
Error	110	1.41

\* แตกต่างอย่างมีนัยสำคัญ ( $P \leq 0.05$ )

ตารางที่ 4.15 ผลของปริมาณของแข็งทั้งหมด หรือวิธีแช่แข็งต่อคะแนนเนื้อสัมผัสของโปรตีนแปลงเนื้อสัมผัส

สภาวะทดลอง	คะแนนเฉลี่ย ± ค่าเบี่ยงเบนมาตรฐาน
ปริมาณของแข็งทั้งหมด (ร้อยละ)	
10	6.70 <sup>a</sup> ± 1.37
15	5.15 <sup>b</sup> ± 1.36
20	2.77 <sup>c</sup> ± 0.92
วิธีแช่แข็ง	
แบบ plate	5.22 <sup>a</sup> ± 1.85
แบบใช้คาร์บอนไดออกไซด์แช่แข็ง	4.54 <sup>b</sup> ± 2.16

a,b,c. ตัวเลขของแต่ละปัจจัยที่มีอักษรกำกับต่างกันแตกต่างอย่างมีนัยสำคัญ ( $p \leq 0.05$ )



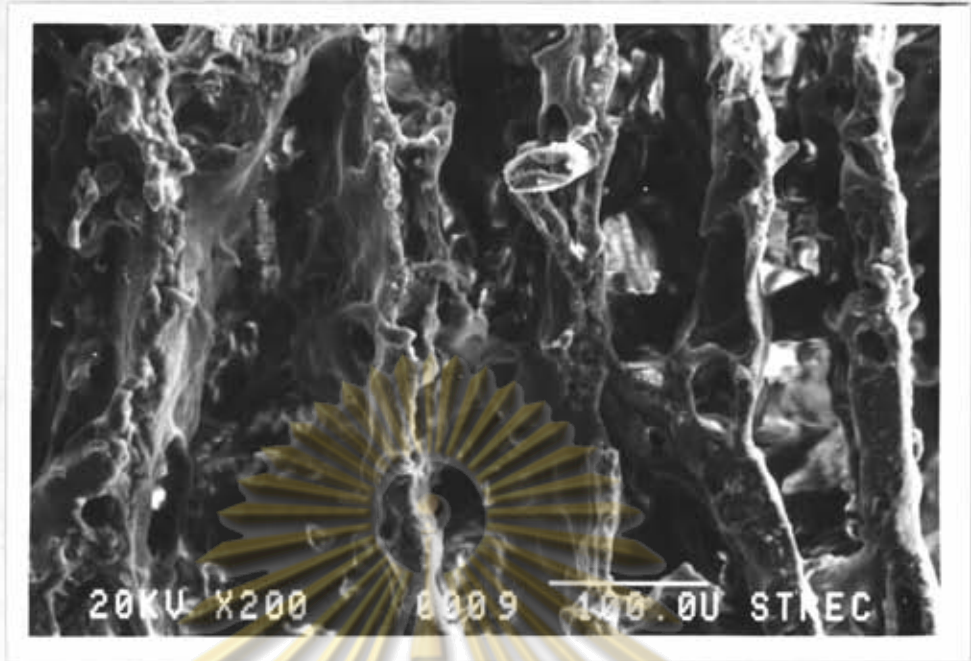
ดังนั้นสภาวะที่เหมาะสมสำหรับแปลงเนื้อสัมผัสโปรตีนถั่วเหลืองคือใช้โปรตีน slurry ที่มีปริมาณของแข็งทั้งหมดร้อยละ 10 แช่แข็งแบบ plate และกำจัดผลึกน้ำแข็งโดยแทนที่ด้วย 95% ethyl alcohol

#### 4.4 สภาวะที่เหมาะสมในการทำให้โครงสร้างเส้นใยโปรตีนอยู่ตัวด้วยความร้อน

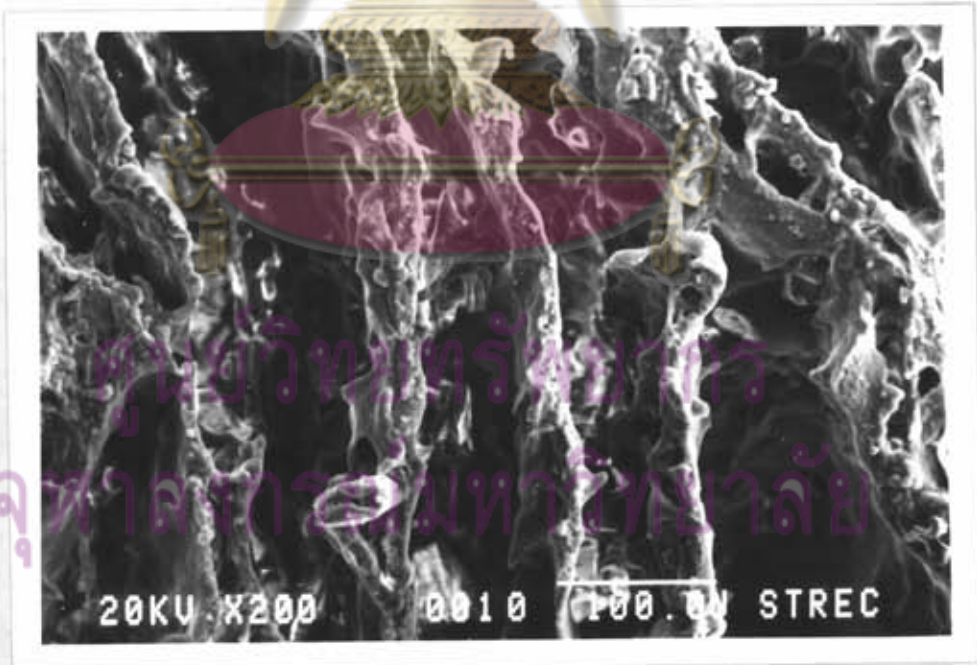
จากสภาวะแปลงเนื้อสัมผัสที่เหมาะสมซึ่งสรุปได้จากข้อ 4.3 ผลิตภัณฑ์แปลงเนื้อสัมผัส แล้วนำมาศึกษาสภาวะที่เหมาะสมในการทำให้โครงสร้างอยู่ตัวด้วยความร้อน โดยบรรจุโปรตีนแปลงเนื้อสัมผัสทั้งชิ้นในถุง PP ปิดผนึกด้วยความร้อนแล้วบรรจุลงพร้อมผลิตภัณฑ์ในถุง PP อีก 2 ชั้นปิดผนึก จากนั้นให้ความร้อนใน autoclave โดยแปรอุณหภูมิเป็น 105 , 110 และ 115 °C และเวลาในการให้ความร้อนเป็น 5, 7.5 และ 10 นาที นำผลิตภัณฑ์ไปประเมินคุณภาพด้านโครงสร้างภายใต้ scanning electron microscope วัดค่า shear strength และทดสอบคุณภาพเนื้อสัมผัส เพื่อเป็นเกณฑ์เลือกสภาวะที่ดีที่สุด ผลการทดลองมีดังแสดงในรูป 4.20-4.28 และตารางที่ 4.16-4.18 กับ 4.19-4.21 ตามลำดับ



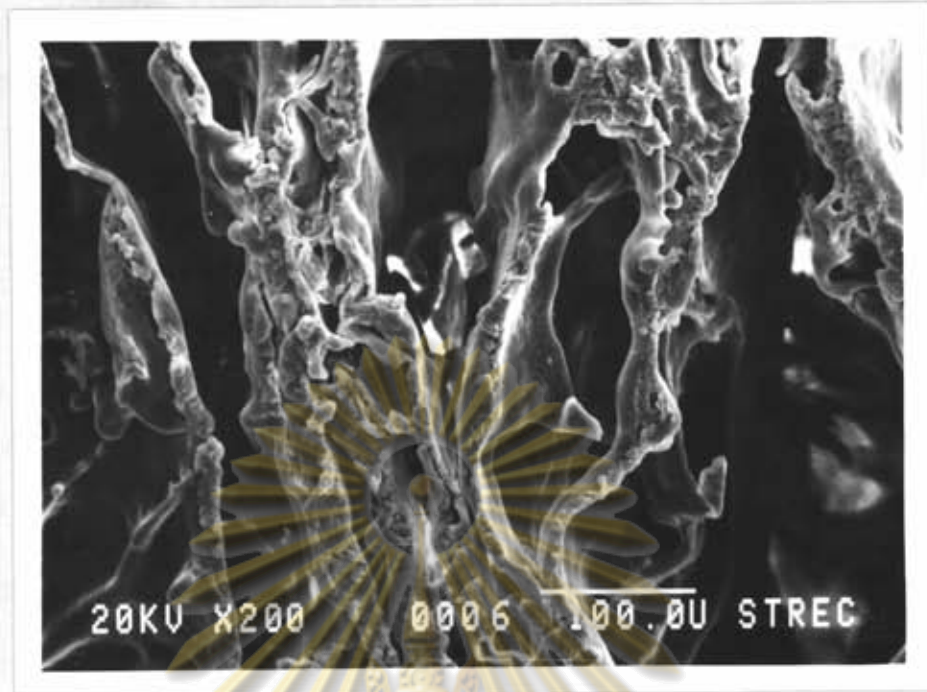
ศูนย์วิทยทรัพยากร  
จุฬาลงกรณ์มหาวิทยาลัย



รูปที่ 4.20 โครงสร้างโปรตีนแปลงเนื้อสัมผัสโดยวิธีแช่แข็งจากโปรตีน slurry ซึ่งมีของแข็งทั้งหมดร้อยละ 10 แช่แข็งแบบ plate และกำจัดผลึกน้ำแข็งโดยแทนที่ด้วย 95 % ethyl alcohol และผ่านความร้อนที่อุณหภูมิ 105 °C เป็นเวลา 5 นาที (บันทึกด้วยเครื่อง scanning electron microscope)



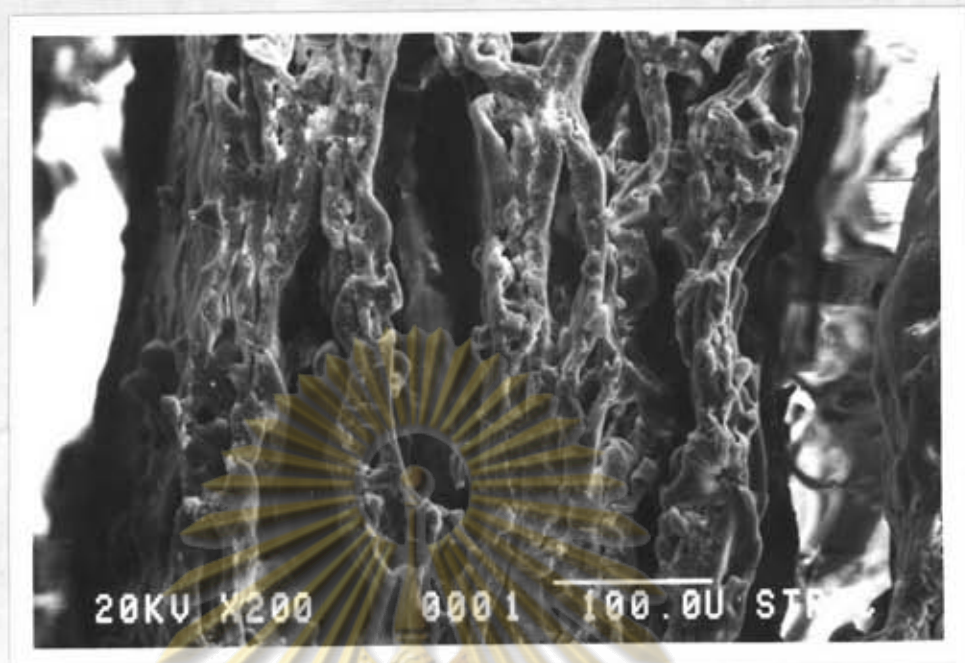
รูปที่ 4.21 โครงสร้างโปรตีนแปลงเนื้อสัมผัสโดยวิธีแช่แข็งจากโปรตีน slurry ซึ่งมีของแข็งทั้งหมดร้อยละ 10 แช่แข็งแบบ plate และกำจัดผลึกน้ำแข็งโดยแทนที่ด้วย 95 % ethyl alcohol และผ่านความร้อนที่อุณหภูมิ 105 °C เป็นเวลา 7.5 นาที (บันทึกด้วยเครื่อง scanning electron microscope)



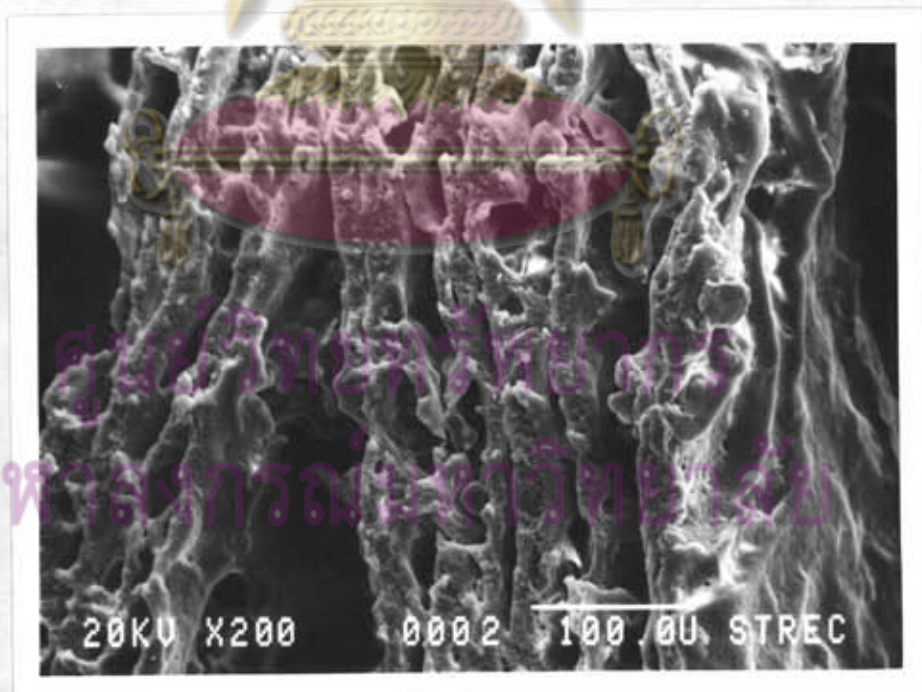
รูปที่ 4.22 โครงสร้างโปรตีนแปลงเนื้อสัมผัสโดยวิธีแช่แข็งจากโปรตีน slurry ซึ่งมีของแข็งทั้งหมดร้อยละ 10 แช่แข็งแบบ plate และกำจัดผลึกน้ำแข็งโดยแทนที่ด้วย 95 % ethyl alcohol และผ่านความร้อนที่อุณหภูมิ 105 °C เป็นเวลา 10 นาที (บันทึกด้วยเครื่อง scanning electron microscope)



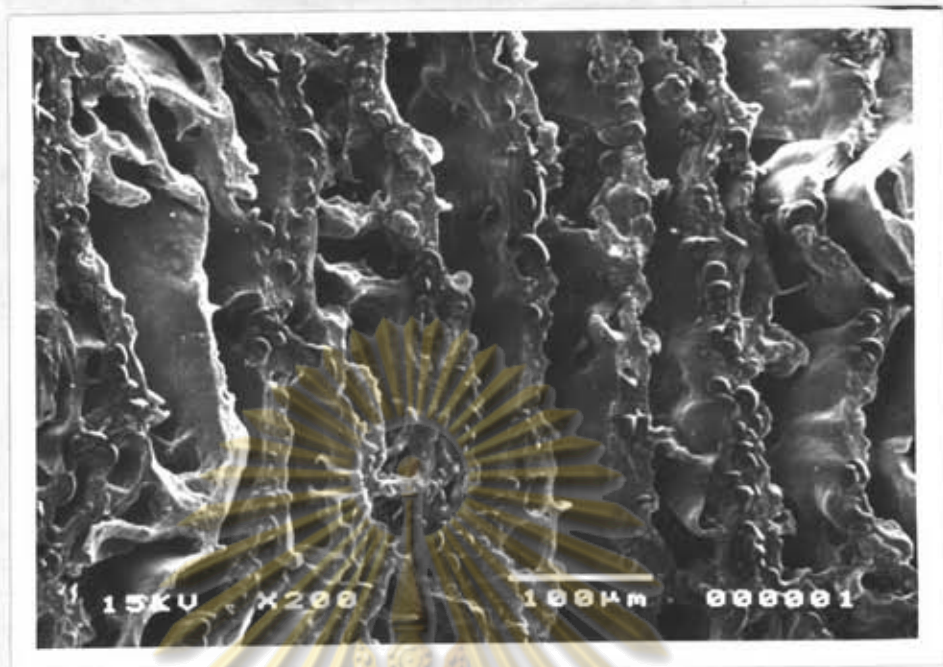
รูปที่ 4.23 โครงสร้างโปรตีนแปลงเนื้อสัมผัสโดยวิธีแช่แข็งจากโปรตีน slurry ซึ่งมีของแข็งทั้งหมดร้อยละ 10 แช่แข็งแบบ plate และกำจัดผลึกน้ำแข็งโดยแทนที่ด้วย 95 % ethyl alcohol และผ่านความร้อนที่อุณหภูมิ 110 °C เป็นเวลา 5 นาที (บันทึกด้วยเครื่อง scanning electron microscope)



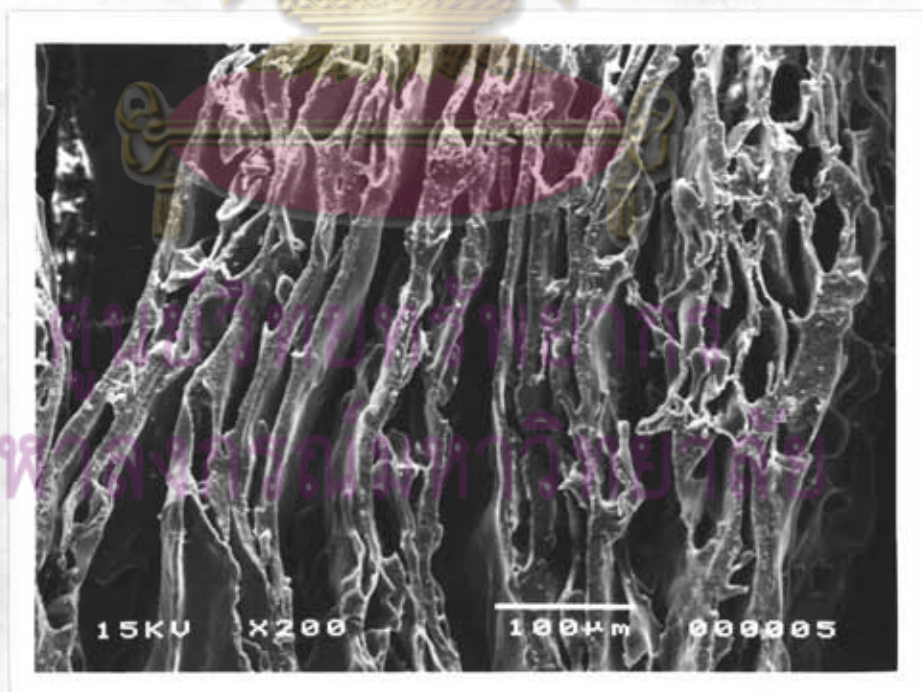
รูปที่ 4.24 โครงสร้างโปรตีนแปลงเนื้อสัมผัสโดยวิธีแช่แข็งจากโปรตีน slurry ซึ่งมีของแข็งทั้งหมดร้อยละ 10 แช่แข็งแบบ plate และกำจัดผลึกน้ำแข็งโดยแทนที่ด้วย 95 % ethyl alcohol และผ่านความร้อนที่อุณหภูมิ 110 °C เป็นเวลา 7.5 นาที (บันทึกด้วยเครื่อง scanning electron microscope)



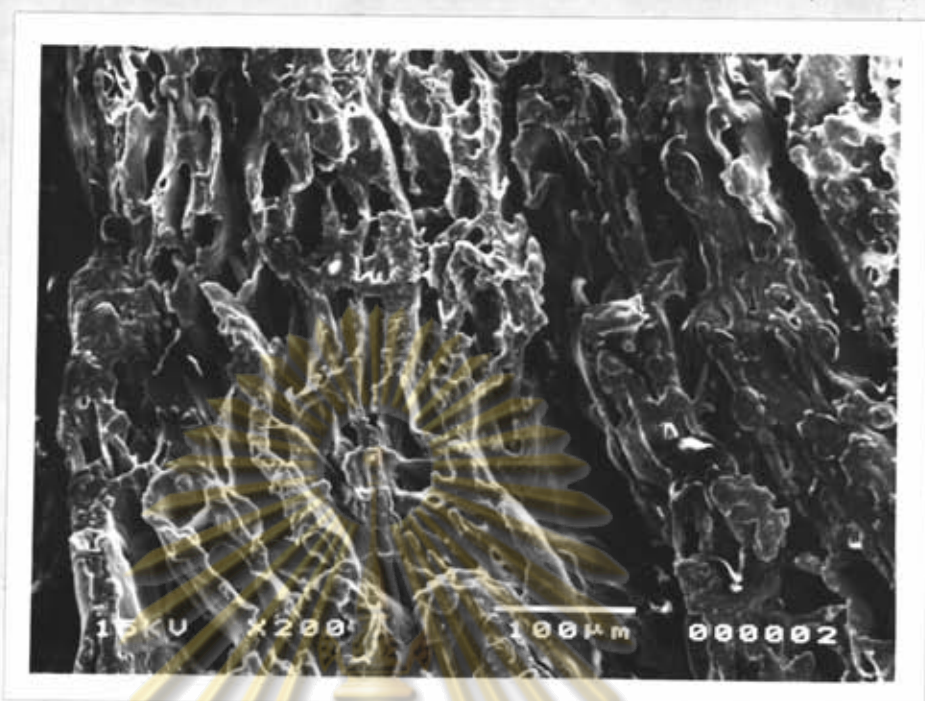
รูปที่ 4.25 โครงสร้างโปรตีนแปลงเนื้อสัมผัสโดยวิธีแช่แข็งจากโปรตีน slurry ซึ่งมีของแข็งทั้งหมดร้อยละ 10 แช่แข็งแบบ plate และกำจัดผลึกน้ำแข็งโดยแทนที่ด้วย 95 % ethyl alcohol และผ่านความร้อนที่อุณหภูมิ 110 °C เป็นเวลา 10 นาที (บันทึกด้วยเครื่อง scanning electron microscope)



รูปที่ 4.26 โครงสร้างโปรตีนแปลงเนื้อสัมผัสโดยวิธีแช่แข็งจากโปรตีน slurry ซึ่งมีของแข็งทั้งหมดร้อยละ 10 แช่แข็งแบบ plate และกำจัดผลึกน้ำแข็งโดยแทนที่ด้วย 95 % ethyl alcohol และผ่านความร้อนที่อุณหภูมิ 115 °C เป็นเวลา 5 นาที (บันทึกด้วยเครื่อง scanning electron microscope)



รูปที่ 4.27 โครงสร้างโปรตีนแปลงเนื้อสัมผัสโดยวิธีแช่แข็งจากโปรตีน slurry ซึ่งมีของแข็งทั้งหมดร้อยละ 10 แช่แข็งแบบ plate และกำจัดผลึกน้ำแข็งโดยแทนที่ด้วย 95 % ethyl alcohol และผ่านความร้อนที่อุณหภูมิ 115 °C เป็นเวลา 7.5 นาที (บันทึกด้วยเครื่อง scanning electron microscope)



รูปที่ 4.28 โครงสร้างโปรตีนแปลงเนื้อสัมผัสโดยวิธีแช่แข็งจากโปรตีน slurry ซึ่งมีของแข็งทั้งหมดร้อยละ 10 แช่แข็งแบบ plate และกำจัดผลึกน้ำแข็งโดยแทนที่ด้วย 95 % ethyl alcohol และผ่านความร้อนที่อุณหภูมิ 115 °C เป็นเวลา 10 นาที (บันทึกด้วยเครื่อง scanning electron microscope)

ศูนย์วิทยทรัพยากร  
จุฬาลงกรณ์มหาวิทยาลัย

ตารางที่ 4.16 ผลของอุณหภูมิและเวลาในการให้ความร้อนใน autoclave ต่อค่า shear strength ของโปรตีนแปลงเนื้อสั้มผัส

อุณหภูมิ (°C)	เวลา(นาที)	ค่า shear strength (N) ± ค่าเบี่ยงเบนมาตรฐาน
105	5	24.7 <sup>a</sup> ± 1.1
	7.5	27.2 <sup>a</sup> ± 1.6
	10	31.4 <sup>b,c</sup> ± 1.4
110	5	30.3 <sup>b,c</sup> ± 1.1
	7.5	32.8 <sup>b</sup> ± 1.6
	10	36.4 <sup>a,b</sup> ± 1.6
115	5	35.0 <sup>a,b</sup> ± 1.8
	7.5	38.0 <sup>a</sup> ± 1.8
	10	39.0 <sup>a</sup> ± 1.6

a, b, c, .. ตัวเลขที่มีอักษรกำกับต่างกันจากแถวเดียวกันแตกต่างกันอย่างมีนัยสำคัญ ( $p \leq 0.05$ )

ตารางที่ 4.17 การวิเคราะห์ความแปรปรวนค่า shear strength ของโปรตีนแปลงเนื้อสั้มผัส ที่ทำให้โครงสร้างอยู่ตัวด้วยความร้อน

SOV	d.f	M.S
อุณหภูมิ (A)	2	138.043 <sup>*</sup>
เวลา (B)	2	47.076 <sup>*</sup>
AB	4	1.662
Error	9	4.688

\* แตกต่างอย่างมีนัยสำคัญ ( $P \leq 0.05$ )

ตารางที่ 4.18 ผลของอุณหภูมิหรือเวลาในการให้ความร้อนใน autoclave ต่อค่า shear strength ของโปรตีนแปลงเนื้อสัมผัส

สภาวะทดลอง	ค่า shear strength (N) $\pm$ ค่าเบี่ยงเบนมาตรฐาน
อุณหภูมิ (°C)	
105	27.7 <sup>a</sup> $\pm$ 3.1
110	33.2 <sup>b</sup> $\pm$ 2.9
115	37.3 <sup>c</sup> $\pm$ 2.4
เวลา (นาที)	
5	30.0 <sup>b</sup> $\pm$ 4.4
7.5	32.7 <sup>ab</sup> $\pm$ 4.7
10	35.6 <sup>a</sup> $\pm$ 3.5

a,b,c...ตัวเลขของแต่ละปัจจัยที่มีอักษรกำกับต่างกันแตกต่างกันอย่างมีนัยสำคัญ ( $p \leq 0.05$ )

ศูนย์วิทยทรัพยากร  
จุฬาลงกรณ์มหาวิทยาลัย



ตารางที่ 4.19 ผลของอุณหภูมิและเวลาในการให้ความร้อนใน autoclave ต่อคะแนนเนื้อสัมผัสของโปรตีนแปลงเนื้อสัมผัส

อุณหภูมิ (°C)	เวลา (นาที)	คะแนนเฉลี่ย $\pm$ ค่าเบี่ยงเบนมาตรฐาน
105	5	5.18 <sup>d</sup> $\pm$ 0.60
	7.5	5.27 <sup>d</sup> $\pm$ 0.64
	10	5.73 <sup>cd</sup> $\pm$ 0.46
110	5	6.00 <sup>bc</sup> $\pm$ 0.63
	7.5	6.36 <sup>b</sup> $\pm$ 0.50
	10	6.45 <sup>b</sup> $\pm$ 0.52
115	5	6.36 <sup>b</sup> $\pm$ 1.02
	7.5	7.18 <sup>a</sup> $\pm$ 0.60
	10	7.45 <sup>a</sup> $\pm$ 0.68

a, b, c, d... ตัวเลขที่มีอักษรกำกับต่างกันจากแถวเดียวกันแตกต่างกันอย่างมีนัยสำคัญ ( $p \leq 0.05$ )

ตารางที่ 4.20 การวิเคราะห์ความแปรปรวนคะแนนเนื้อสัมผัสของโปรตีนแปลงเนื้อสัมผัสที่ทำให้โครงสร้างอยู่ตัวด้วยความร้อน

SOV	d.f	M.S
อุณหภูมิ (A)	2	21.343 <sup>*</sup>
เวลา (B)	2	4.070 <sup>*</sup>
AB	4	0.525
Block	10	0.267
Error	80	0.444

\* แตกต่างอย่างมีนัยสำคัญ ( $P \leq 0.05$ )

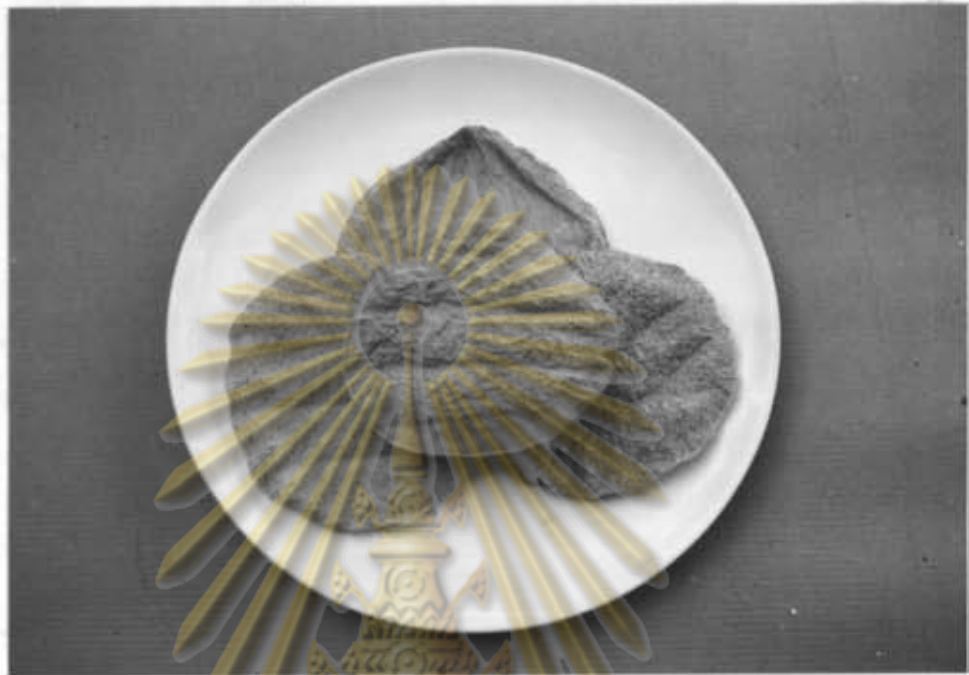
ตารางที่ 4.21 ผลของอุณหภูมิหรือเวลาในการให้ความร้อนใน autoclave ต่อคะแนนเนื้อสัมผัสของโปรตีนแปลงเนื้อสัมผัส

สภาวะทดลอง	คะแนนเฉลี่ย $\pm$ ค่าเบี่ยงเบนมาตรฐาน
อุณหภูมิ ( $^{\circ}\text{C}$ )	
105	5.39 <sup>c</sup> $\pm$ 0.62
110	6.27 <sup>b</sup> $\pm$ 0.58
115	6.99 <sup>a</sup> $\pm$ 0.91
เวลา (นาที)	
5	5.84 <sup>b</sup> $\pm$ 0.92
7.5	6.27 <sup>a</sup> $\pm$ 0.97
10	6.54 <sup>a</sup> $\pm$ 0.90

a, b, c... ตัวเลขของแต่ละปัจจัยที่มีอักษรกำกับต่างกันแตกต่างอย่างมีนัยสำคัญ ( $p \leq 0.05$ )

ดังนั้นสภาวะที่ดีที่สุดสำหรับทำให้โครงสร้างเส้นใยอยู่ตัวด้วยความร้อนคือให้ความร้อนใน autoclave ที่ 115  $^{\circ}\text{C}$  เป็นเวลา 7.5 นาที

ศูนย์วิทยทรัพยากร  
จุฬาลงกรณ์มหาวิทยาลัย



รูปที่ 4.29 โปรตีนแปลงเนื้อสัมผัสโดยวิธีแช่แข็งจากโปรตีน slurry ซึ่งมีของแข็งทั้งหมดร้อยละ 10 แช่แข็งแบบ plate และกำจัดผลึกน้ำแข็งโดยแทนที่ด้วย 95 % ethyl alcohol และผ่านความร้อนที่อุณหภูมิ  $115^{\circ}\text{C}$  เป็นเวลา 7.5 นาที เพื่อให้เกิดโครงสร้างที่อยู่ตัว

ศูนย์วิจัยทรัพยากร  
จุฬาลงกรณ์มหาวิทยาลัย

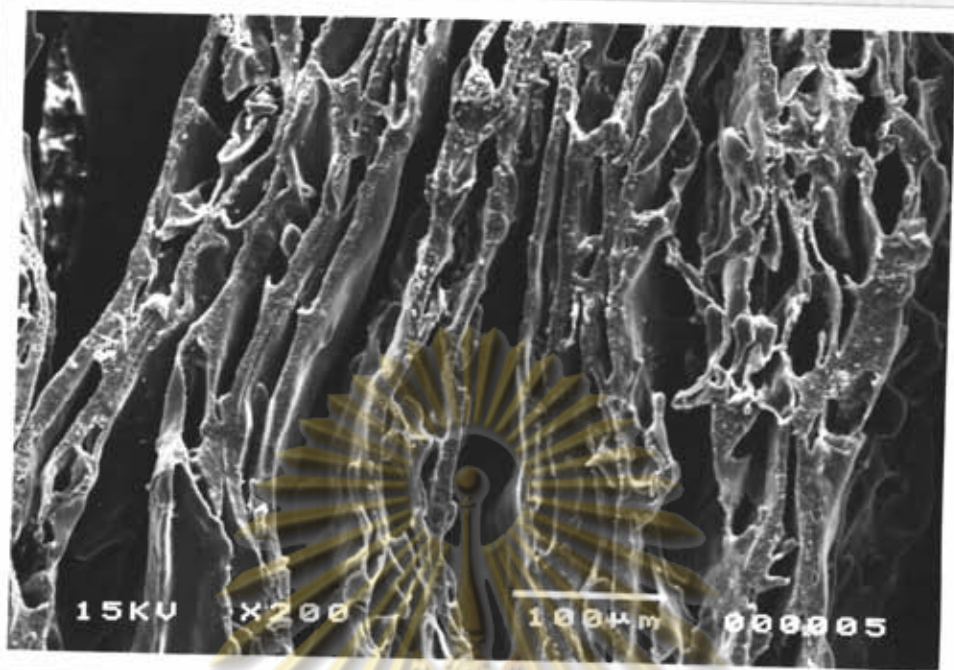
4.5 องค์ประกอบและโครงสร้างของ โปรตีนแปลงเนื้อสัมผัสโดยวิธีแช่แข็งเปรียบเทียบกับผลิตภัณฑ์จากกระบวนการ extrusion และเนื้อสัตว์

วิเคราะห์องค์ประกอบของ โปรตีนแปลงเนื้อสัมผัสโดยวิธีแช่แข็งที่ทำให้โครงสร้างอยู่ตัวด้วยความร้อนตามสภาวะที่ดีที่สุดที่สรุปได้จากข้อ 4.3 และ 4.4 เปรียบเทียบกับโปรตีนจากกระบวนการ extrusion (โปรตีนเกษตร) ผลการวิเคราะห์มีดังแสดงในตารางที่ 4.22 และศึกษาโครงสร้างของโปรตีนแปลงเนื้อสัมผัสจาก 2 กระบวนการผลิต กับโครงสร้างกล้ามเนื้อสุกร โค และไก่ ด้วยเครื่อง scanning electron microscope ผลการทดลองแสดงในรูปที่ 4.30 ถึง 4.33

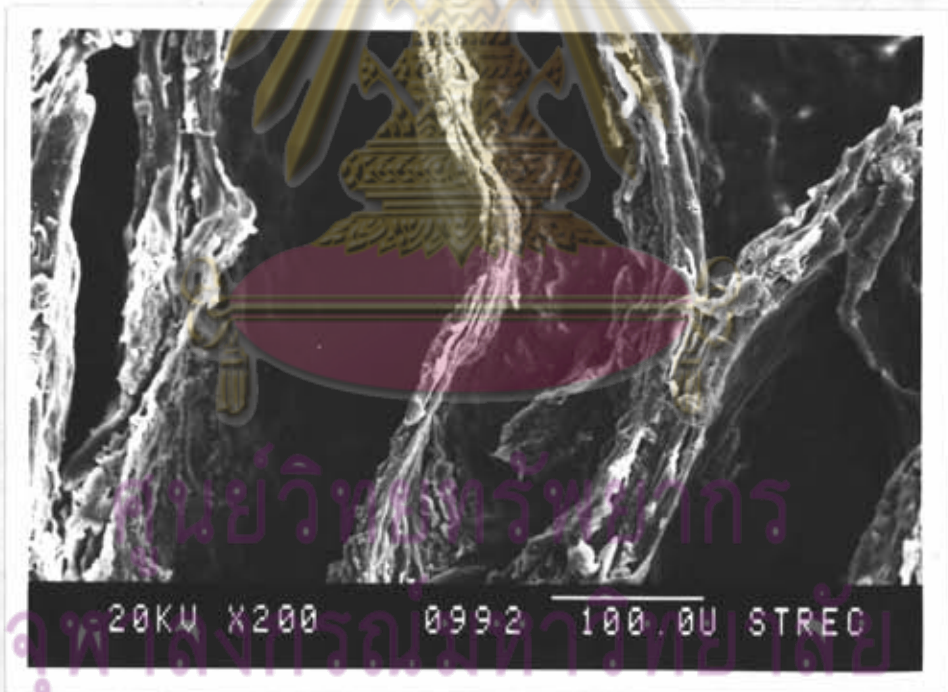
ตารางที่ 4.22 องค์ประกอบของ โปรตีนแปลงเนื้อสัมผัสโดยวิธีแช่แข็งและโปรตีนจากกระบวนการ extrusion

องค์ประกอบ <sup>a</sup>	ค่าเฉลี่ย(ร้อยละ) ± ค่าเบี่ยงเบนมาตรฐาน	
	โปรตีนแปลงเนื้อสัมผัสจากกระบวนการแช่แข็ง	โปรตีนแปลงเนื้อสัมผัสจากกระบวนการ extrusion
ความชื้น	47.52 ± 2.36	7.36 ± 0.06
โปรตีน	62.31 ± 2.23	52.56 ± 1.95
ไขมัน	2.81 ± 0.10	0.85 ± 0.02
เถ้า	1.59 ± 0.17	7.63 ± 0.07
เส้นใย	1.19 ± 0.03	2.56 ± 0.22

<sup>a</sup> เฉพาะความชื้นคำนวณเป็น wet basis องค์ประกอบอื่นคำนวณเป็น dry basis

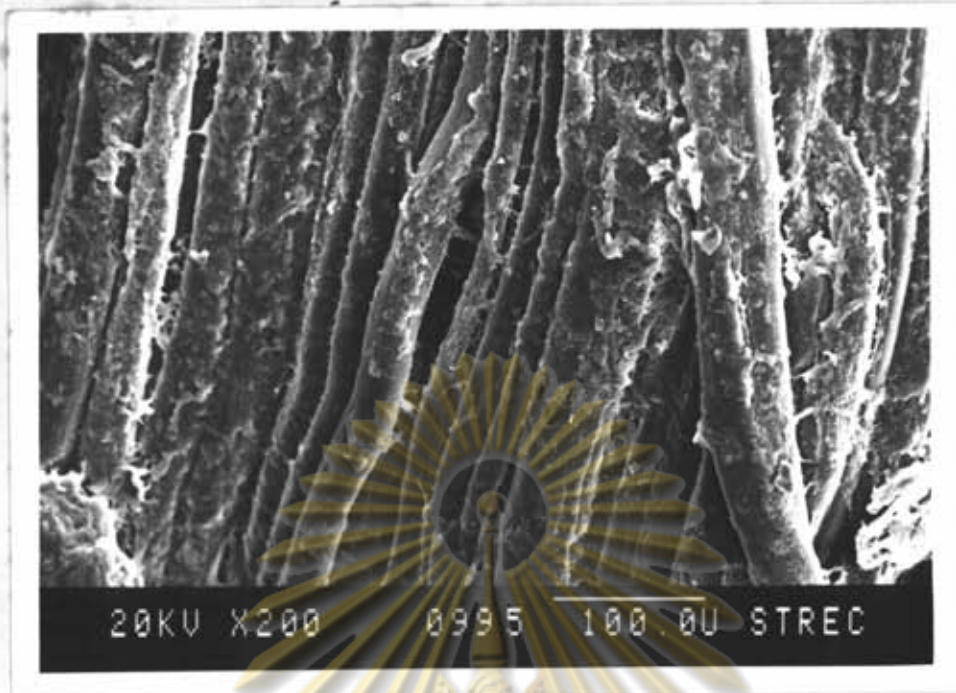


โปรตีนแปลงเนื้อสัมผัสจาก  
กระบวนการแช่แข็ง

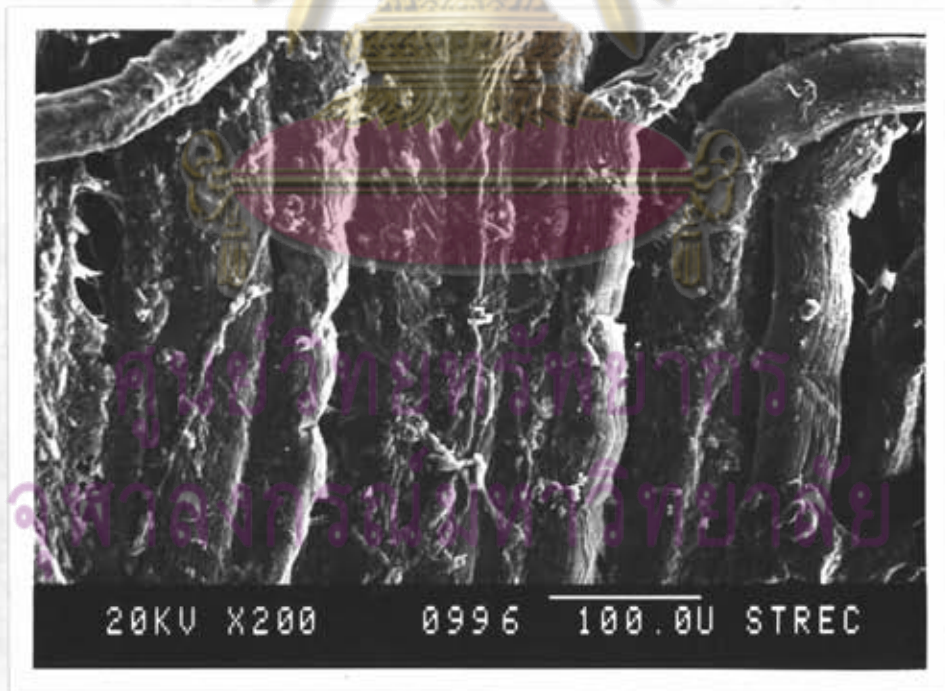


โปรตีนแปลงเนื้อสัมผัสจาก  
กระบวนการ extrusion

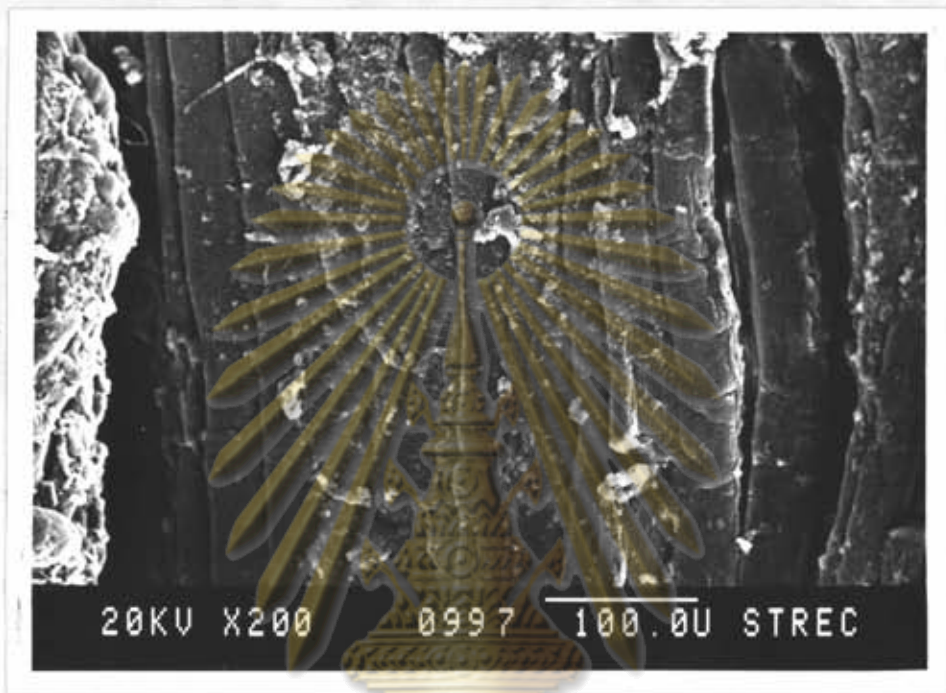
รูปที่ 4.30 โครงสร้างของโปรตีนแปลงเนื้อสัมผัสโดยวิธีแช่แข็ง เปรียบเทียบกับโปรตีนจาก  
กระบวนการ extrusion



รูปที่ 4.31 โครงสร้างเส้นใยกล้ามเนื้อ(muscle fiber)จากเนื้อหางูที่ต้มในน้ำเดือดเป็นเวลา 5 นาที



รูปที่ 4.32 โครงสร้างเส้นใยกล้ามเนื้อ(muscle fiber)จากเนื้อหมูที่ต้มในน้ำเดือดเป็นเวลา 5 นาที



รูปที่ 4.33 โครงสร้างเส้นใยกล้ามเนื้อ(muscle fiber)จากเนื้อไก่ที่ต้มในน้ำเดือดเป็นเวลา 5 นาที

ศูนย์วิทยทรัพยากร  
จุฬาลงกรณ์มหาวิทยาลัย

#### 4.6 การพัฒนาผลิตภัณฑ์จากโปรตีนแปลงเนื้อสัตว์

##### 4.6.1 เนื้อเทียมปรุงแต่ง

ผลิตเนื้อเทียมปรุงแต่งจากโปรตีนแปลงเนื้อสัตว์ตามวิธีในข้อ 3.6.1 โดยแปรชนิดสารแต่งกลิ่นรสเป็น รสไก่ รสหมูหรือรสเนื้อกับปริมาณสารแต่งกลิ่นรสเป็นร้อยละ 5 และ 7.5 ปริมาณไขมัน (เนยขาว) แปรเป็นร้อยละ 0 และ 10 จากนั้นประเมินคุณภาพผลิตภัณฑ์โดยทดสอบทางประสาทสัมผัส และวิเคราะห์ปริมาณไขมันกับโปรตีน เพื่อเป็นเกณฑ์เลือกสภาวะที่ดีที่สุด ผลการทดลองมีดังแสดงในตารางที่ 4.23-4.26 กับ 4.27-4.28 ตามลำดับ

ตารางที่ 4.23 ผลของชนิดและปริมาณสารแต่งกลิ่นรส กับปริมาณไขมันต่อคะแนนสี กลิ่น รสชาติ ของเนื้อเทียมปรุงแต่ง

ชนิดสารแต่ง กลิ่นรส	ปริมาณสารแต่ง กลิ่นรส(ร้อยละ)	ปริมาณไขมัน (ร้อยละ)	คะแนนเฉลี่ย $\pm$ ค่าเบี่ยงเบนมาตรฐาน			
			สี	กลิ่น	รสชาติ	
ไก่	5	0	6.05 <sup>bc</sup> $\pm$ 1.05	4.15 <sup>a</sup> $\pm$ 0.67	3.95 <sup>b</sup> $\pm$ 0.60	
		10	6.10 <sup>bc</sup> $\pm$ 0.72	4.70 <sup>ab</sup> $\pm$ 0.47	4.15 <sup>ab</sup> $\pm$ 0.49	
	7.5	0	6.10 <sup>bc</sup> $\pm$ 1.02	4.15 <sup>a</sup> $\pm$ 0.74	4.15 <sup>ab</sup> $\pm$ 0.58	
		10	6.25 <sup>ab</sup> $\pm$ 0.85	4.65 <sup>ab</sup> $\pm$ 0.49	4.40 <sup>ab</sup> $\pm$ 0.68	
	หมู	5	0	6.50 <sup>ab</sup> $\pm$ 0.51	4.05 <sup>a</sup> $\pm$ 0.82	4.00 <sup>b</sup> $\pm$ 0.85
			10	6.35 <sup>ab</sup> $\pm$ 0.67	4.75 <sup>ab</sup> $\pm$ 0.63	4.25 <sup>ab</sup> $\pm$ 0.64
7.5		0	6.50 <sup>ab</sup> $\pm$ 0.68	4.45 <sup>bc</sup> $\pm$ 0.82	4.15 <sup>ab</sup> $\pm$ 0.67	
		10	6.65 <sup>a</sup> $\pm$ 0.81	5.05 <sup>a</sup> $\pm$ 0.60	4.60 <sup>a</sup> $\pm$ 0.59	
เนื้อ	5	0	5.55 <sup>cd</sup> $\pm$ 0.60	4.20 <sup>cd</sup> $\pm$ 0.69	4.00 <sup>b</sup> $\pm$ 0.79	
		10	5.55 <sup>cd</sup> $\pm$ 0.76	4.80 <sup>ab</sup> $\pm$ 0.61	4.25 <sup>ab</sup> $\pm$ 0.63	
	7.5	0	5.45 <sup>d</sup> $\pm$ 0.60	4.25 <sup>cd</sup> $\pm$ 0.85	4.25 <sup>ab</sup> $\pm$ 0.85	
		10	5.60 <sup>cd</sup> $\pm$ 0.68	4.80 <sup>ab</sup> $\pm$ 0.61	4.40 <sup>ab</sup> $\pm$ 0.59	

a, b, c, d, e... ตัวเลขที่มีอักษรกำกับต่างกันจากแถวตั้งเดียวกันแตกต่างกันอย่างมีนัยสำคัญ ( $p \leq 0.05$ )



ตารางที่ 4.24 ผลของชนิดและปริมาณสารแต่งกลิ่นรส กับปริมาณไขมันต่อคะแนนลักษณะปรากฏ เนื้อสัมผัส และการยอมรับรวมของเนื้อเทียมปรุงแต่ง

ชนิดสารแต่ง กลิ่นรส	ปริมาณสารแต่ง กลิ่นรส (ร้อยละ)	ปริมาณไขมัน (ร้อยละ)	คะแนนเฉลี่ย $\pm$ ค่าเบี่ยงเบนมาตรฐาน			
			ลักษณะปรากฏ	เนื้อสัมผัส	การยอมรับรวม	
ไก่	5	0	6.15 <sup>a</sup> $\pm$ 0.74	5.75 <sup>c</sup> $\pm$ 0.64	3.95 <sup>b</sup> $\pm$ 0.82	
		10	6.20 <sup>a</sup> $\pm$ 1.19	6.45 <sup>a</sup> $\pm$ 0.76	4.15 <sup>b</sup> $\pm$ 0.67	
	7.5	0	6.55 <sup>a</sup> $\pm$ 0.99	5.85 <sup>bc</sup> $\pm$ 0.81	3.95 <sup>b</sup> $\pm$ 0.82	
		10	6.45 <sup>a</sup> $\pm$ 0.82	6.30 <sup>ab</sup> $\pm$ 0.66	4.15 <sup>b</sup> $\pm$ 0.58	
	หมู	5	0	6.60 <sup>a</sup> $\pm$ 0.75	5.60 <sup>c</sup> $\pm$ 0.68	3.95 <sup>b</sup> $\pm$ 0.76
			10	6.70 <sup>a</sup> $\pm$ 0.80	6.45 <sup>a</sup> $\pm$ 0.89	4.35 <sup>ab</sup> $\pm$ 0.49
7.5		0	6.70 <sup>a</sup> $\pm$ 0.73	5.65 <sup>c</sup> $\pm$ 0.59	4.20 <sup>b</sup> $\pm$ 0.61	
		10	6.50 <sup>a</sup> $\pm$ 0.68	6.40 <sup>a</sup> $\pm$ 0.88	4.75 <sup>a</sup> $\pm$ 0.63	
เนื้อ		5	0	6.70 <sup>a</sup> $\pm$ 0.73	5.60 <sup>c</sup> $\pm$ 0.60	3.95 <sup>b</sup> $\pm$ 0.68
			10	6.50 <sup>a</sup> $\pm$ 0.94	6.40 <sup>a</sup> $\pm$ 0.68	4.05 <sup>b</sup> $\pm$ 0.76
	7.5	0	6.45 <sup>a</sup> $\pm$ 0.82	5.75 <sup>c</sup> $\pm$ 1.02	3.95 <sup>b</sup> $\pm$ 0.76	
		10	6.45 <sup>a</sup> $\pm$ 0.82	6.40 <sup>a</sup> $\pm$ 0.94	4.25 <sup>b</sup> $\pm$ 0.64	

a, b, c... ตัวเลขที่มีอักษรกำกับต่างกันจากแถวตั้งเดียวกันแตกต่างกันอย่างมีนัยสำคัญ ( $p \leq 0.05$ )

ศูนย์วิทยทรัพยากร  
จุฬาลงกรณ์มหาวิทยาลัย

ตารางที่ 4.25 การวิเคราะห์ความแปรปรวนคะแนนการทดสอบทางประสาทสัมผัสของเนื้อเทียมปรุงแต่ง

SOV	d.f	MS					
		สี	กลิ่น	รสชาติ	ลักษณะปรากฏ	เนื้อสัมผัส	การยอมรับรวม
ชนิดสารแต่งกลิ่นรส (A)	2	18.829*	0.554	0.162	1.654	$8.789 \times 10^{-2}$	1.837*
ปริมาณสารแต่งกลิ่นรส (B)	1	0.337	0.937	3.037*	$1.660 \times 10^{-2}$	$1.660 \times 10^{-2}$	1.204
ปริมาณไขมัน (C)	1	0.204	21.004*	4.004*	0.417	29.400*	5.104*
AB	2	0.162	0.787	$1.245 \times 10^{-2}$	1.579	$5.420 \times 10^{-2}$	0.554
AC	2	$5.419 \times 10^{-2}$	$7.934 \times 10^{-2}$	0.129	0.128	0.262	0.504
BC	1	0.504	$3.759 \times 10^{-2}$	$3.711 \times 10^{-2}$	0.267	0.417	0.204
ABC	2	$5.419 \times 10^{-2}$	$1.245 \times 10^{-2}$	0.113	0.154	0.029	$5.419 \times 10^{-2}$
Block	19	0.520	0.465	0.338	1.530	1.056	0.520
Error	209	0.589	0.464	0.468	0.650	0.558	0.479

\* แตกต่างอย่างมีนัยสำคัญ ( $p \leq 0.05$ )

ตารางที่ 4.26 ผลของชนิดสารแต่งกลิ่นรส ปริมาณสารแต่งกลิ่นรส หรือปริมาณไขมันต่อคะแนนทางประสาทสัมผัสของเนื้อเทียมปรุงแต่ง

สภาวะทดลอง	คะแนนเฉลี่ย $\pm$ ค่าเบี่ยงเบนมาตรฐาน					
	สี	กลิ่น	รสชาติ	ลักษณะปรากฏ	เนื้อสัมผัส	การยอมรับรวม
ชนิดสารแต่งกลิ่นรส						
ไก่	6.08 <sup>a</sup> $\pm$ 0.94	4.41 <sup>b</sup> $\pm$ 0.65	4.16 <sup>c</sup> $\pm$ 0.60	6.33 <sup>a</sup> $\pm$ 0.95	6.09 <sup>a</sup> $\pm$ 0.76	4.05 <sup>b</sup> $\pm$ 0.72
หมู	6.50 <sup>a</sup> $\pm$ 0.67	4.56 <sup>b</sup> $\pm$ 0.80	4.25 <sup>c</sup> $\pm$ 0.72	6.62 <sup>a</sup> $\pm$ 0.73	6.02 <sup>a</sup> $\pm$ 0.85	4.31 <sup>b</sup> $\pm$ 0.68
เนื้อ	5.54 <sup>d</sup> $\pm$ 0.65	4.53 <sup>b</sup> $\pm$ 0.74	4.22 <sup>c</sup> $\pm$ 0.73	6.51 <sup>a</sup> $\pm$ 0.84	6.04 <sup>a</sup> $\pm$ 0.89	4.05 <sup>b</sup> $\pm$ 0.71
ปริมาณสารแต่งกลิ่นรส (ร้อยละ)						
5	6.01 <sup>a</sup> $\pm$ 0.80	4.44 <sup>b</sup> $\pm$ 0.72	4.10 <sup>c</sup> $\pm$ 0.68	6.48 <sup>a</sup> $\pm$ 0.85	6.04 <sup>a</sup> $\pm$ 0.80	4.07 <sup>b</sup> $\pm$ 0.71
7.5	6.09 <sup>a</sup> $\pm$ 0.88	4.57 <sup>b</sup> $\pm$ 0.75	4.32 <sup>c</sup> $\pm$ 0.67	6.51 <sup>a</sup> $\pm$ 0.80	6.06 <sup>a</sup> $\pm$ 0.87	4.21 <sup>b</sup> $\pm$ 0.72
ปริมาณไขมัน (ร้อยละ)						
0	6.02 <sup>a</sup> $\pm$ 0.86	4.21 <sup>b</sup> $\pm$ 0.76	4.08 <sup>c</sup> $\pm$ 0.73	6.52 <sup>a</sup> $\pm$ 0.81	5.70 <sup>b</sup> $\pm$ 0.73	3.99 <sup>b</sup> $\pm$ 0.74
10	6.08 <sup>a</sup> $\pm$ 0.83	4.40 <sup>b</sup> $\pm$ 0.57	4.33 <sup>c</sup> $\pm$ 0.63	6.47 <sup>a</sup> $\pm$ 0.89	6.40 <sup>a</sup> $\pm$ 0.79	4.28 <sup>b</sup> $\pm$ 0.66

a, b, c... ตัวเลขในแถวตั้งเดียวกันของแต่ละปัจจัย ที่มีอักษรกำกับต่างกันแตกต่างกันอย่างมีนัยสำคัญ ( $p \leq 0.05$ )

ตารางที่ 4.27 ผลของชนิดสารแต่งกลิ่นรส ปริมาณสารแต่งกลิ่นรส และการเติมไขมันต่อ ปริมาณโปรตีน และไขมันที่ตรวจพบในเนื้อเทียมปรุงแต่ง

ชนิดสารแต่ง กลิ่นรส	ปริมาณสารแต่ง กลิ่นรส(ร้อยละ)	ปริมาณไขมัน (ร้อยละ)	ค่าเฉลี่ย $\pm$ ค่าเบี่ยงเบนมาตรฐาน	
			โปรตีน	ไขมัน
ไก่	5	0	64.19 <sup>a</sup> $\pm$ 2.30	2.81 <sup>b</sup> $\pm$ 0.14
		10	60.46 <sup>b</sup> $\pm$ 2.17	8.95 <sup>a</sup> $\pm$ 0.83
	7.5	0	65.13 <sup>a</sup> $\pm$ 2.35	2.83 <sup>b</sup> $\pm$ 0.14
		10	61.32 <sup>b</sup> $\pm$ 2.20	9.04 <sup>a</sup> $\pm$ 0.88
หมู	5	0	64.15 <sup>a</sup> $\pm$ 2.27	2.80 <sup>b</sup> $\pm$ 0.27
		10	60.40 <sup>b</sup> $\pm$ 2.13	9.00 <sup>a</sup> $\pm$ 0.69
	7.5	0	65.13 <sup>a</sup> $\pm$ 2.16	2.86 <sup>b</sup> $\pm$ 0.12
		10	61.30 <sup>b</sup> $\pm$ 2.04	9.09 <sup>a</sup> $\pm$ 0.73
เนื้อ	5	0	63.91 <sup>a</sup> $\pm$ 2.28	2.82 <sup>b</sup> $\pm$ 0.23
		10	60.34 <sup>b</sup> $\pm$ 2.15	8.73 <sup>a</sup> $\pm$ 0.41
	7.5	0	64.69 <sup>a</sup> $\pm$ 2.27	2.87 <sup>b</sup> $\pm$ 0.14
		10	61.08 <sup>b</sup> $\pm$ 2.14	8.77 <sup>a</sup> $\pm$ 0.93

a, b... ตัวเลขที่มีอักษรกำกับต่างกันจากแถวตั้งเดียวกันแตกต่างกันอย่างมีนัยสำคัญ ( $p \leq 0.05$ )

ศูนย์วิทยทรัพยากร  
จุฬาลงกรณ์มหาวิทยาลัย

ตารางที่ 4.28 การวิเคราะห์ความแปรปรวนปริมาณโปรตีน และไขมันที่ตรวจพบในเนื้อเทียมปรุงแต่ง

SOV	d.f	MS	
		ปริมาณโปรตีน	ปริมาณไขมัน
ชนิดสารแต่งกลิ่นรส (A)	2	0.175	$3.378 \times 10^{-2}$
ปริมาณสารแต่งกลิ่นรส (B)	1	4.476	$3.674 \times 10^{-2}$
ปริมาณไขมัน (C)	1	82.898*	225.338*
AB	2	0.015	$4.180 \times 10^{-3}$
AC	2	0.016	$7.507 \times 10^{-2}$
BC	1	0.001	$3.662 \times 10^{-4}$
ABC	2	0.008	$1.861 \times 10^{-3}$
Error	12	4.883	0.309

\* แตกต่างอย่างมีนัยสำคัญ ( $p \leq 0.05$ )

คะแนนกลิ่น รสชาติ และการยอมรับรวมของเนื้อเทียมปรุงแต่งที่ผลิตจากโปรตีนแปลงเนื้อสัมผัสโดยวิธีแช่แข็งอยู่ในเกณฑ์ที่ยังไม่เป็นที่พอใจ เพราะผลิตภัณฑ์ยังมีกลิ่นและรสชาติของ alcohol ตกค้างอยู่ จึงจำเป็นต้องศึกษาเพื่อปรับปรุงคุณภาพด้านกลิ่นรสของโปรตีนแปลงเนื้อสัมผัสก่อนนำมาแปรรูปเป็นผลิตภัณฑ์

#### 4.6.2 การปรับปรุงคุณภาพด้านกลิ่นและรสชาติของโปรตีนแปลงเนื้อสัมผัสโดยวิธีแช่แข็ง

นำโปรตีนแปลงเนื้อสัมผัสที่ผลิตตามสภาวะดีที่สุดที่สรุปได้จากข้อ 4.3 ไปอบในตู้อบแห้งแบบสูญญากาศโดยแปรอุณหภูมิขณะอบเป็น  $60^{\circ}\text{C}$ ,  $65^{\circ}\text{C}$  และเวลาในการให้ความร้อนเป็น 5, 6, 7, 8 ชั่วโมง จากนั้นบรรจุในถุง PP 3 ชั้นปิดผนึกด้วยความร้อนแล้วทำให้โครงสร้างอยู่ตัวตามสภาวะดีที่สุดที่สรุปได้จากข้อ 4.4 นำผลิตภัณฑ์ที่ได้ไปประเมินคุณภาพด้าน กลิ่น รสชาติ สี และเนื้อสัมผัส ซึ่งผลการทดลองมีดังแสดงในตารางที่ 4.29-4.30

ตารางที่ 4.29 ผลของอุณหภูมิและเวลาในการให้ความร้อนในตู้อบแห้งแบบสูญญากาศต่อ  
คะแนนทางประสาทสัมผัสโปรตีนแปลง เนื้อสัมผัสที่ปรับปรุงคุณภาพด้านกลิ่นรส

อุณหภูมิ (° C)	เวลา (ชั่วโมง)	คะแนนเฉลี่ย $\pm$ ค่าเบี่ยงเบนมาตรฐาน			
		กลิ่น	รสชาติ	สี	เนื้อสัมผัส
60	5	5.10 <sup>d</sup> $\pm$ 1.07	3.90 <sup>d</sup> $\pm$ 0.30	6.25 <sup>a</sup> $\pm$ 0.64	6.05 <sup>a</sup> $\pm$ 1.19
	6	5.90 <sup>c</sup> $\pm$ 0.55	5.00 <sup>b</sup> $\pm$ 0.65	6.05 <sup>a</sup> $\pm$ 0.51	6.25 <sup>a</sup> $\pm$ 1.07
	7	6.20 <sup>ab</sup> $\pm$ 0.61	5.70 <sup>a</sup> $\pm$ 0.47	6.00 <sup>a</sup> $\pm$ 0.64	6.25 <sup>a</sup> $\pm$ 1.15
	8	6.30 <sup>a</sup> $\pm$ 0.65	5.70 <sup>a</sup> $\pm$ 0.47	5.95 <sup>a</sup> $\pm$ 0.60	6.05 <sup>a</sup> $\pm$ 0.99
65	5	5.30 <sup>d</sup> $\pm$ 0.80	4.55 <sup>e</sup> $\pm$ 0.51	6.20 <sup>a</sup> $\pm$ 0.69	6.05 <sup>a</sup> $\pm$ 0.99
	6	5.95 <sup>bc</sup> $\pm$ 0.51	5.75 <sup>a</sup> $\pm$ 0.55	6.00 <sup>a</sup> $\pm$ 0.56	6.10 <sup>a</sup> $\pm$ 0.91
	7	6.35 <sup>a</sup> $\pm$ 0.49	5.75 <sup>a</sup> $\pm$ 0.55	5.90 <sup>a</sup> $\pm$ 0.64	6.15 <sup>a</sup> $\pm$ 0.93
	8	6.35 <sup>a</sup> $\pm$ 0.59	5.80 <sup>a</sup> $\pm$ 0.41	5.90 <sup>a</sup> $\pm$ 0.72	5.90 <sup>a</sup> $\pm$ 0.91

a,b,c,d... ตัวเลขที่มีอักษรกำกับต่างกันจากแถวตั้งเดียวกันแตกต่างอย่างมีนัยสำคัญ ( $p \leq 0.05$ )

ตารางที่ 4.30 การวิเคราะห์ความแปรปรวนคะแนนการทดสอบทางประสาทสัมผัสโปรตีนแปลง  
เนื้อสัมผัสที่ปรับปรุงคุณภาพด้านกลิ่นรส

SOV	d.f.	MS			
		กลิ่น	รสชาติ	สี	เนื้อสัมผัส
อุณหภูมิ (A)	1	0.506	6.006 <sup>*</sup>	0.156	0.399
เวลา (B)	3	10.772 <sup>*</sup>	20.539 <sup>*</sup>	0.739	0.316
AB	3	5.615x10 <sup>-2</sup>	1.323 <sup>*</sup>	6.184x10 <sup>-3</sup>	4.856x10 <sup>-2</sup>
Block	19	2.190	0.556	0.551	6.442
Error	133	0.223	0.205	0.376	0.256

\* แตกต่างอย่างมีนัยสำคัญ ( $p \leq 0.05$ )

ดังนั้นสภาวะที่ดีที่สุดในการปรับปรุงคุณภาพด้านกลิ่นรสของโปรตีนแปลงเนื้อสัตว์ โดยวิธีแช่แข็งคือ ให้ความร้อนในตู้อบแห้งแบบสูญญากาศที่  $60^{\circ}\text{C}$  เป็นเวลา 7 ชั่วโมง

#### 4.6.3 ผลิตเนื้อเทียมปรุงแต่งจากโปรตีนแปลงเนื้อสัตว์ที่ปรับปรุงคุณภาพด้านกลิ่น และรสชาติ

ผลิตเนื้อเทียมจากโปรตีนแปลงเนื้อสัตว์ที่ปรับปรุงคุณภาพด้านกลิ่นรส และ ยังไม่ได้ปรับปรุงคุณภาพตามวิธีข้อ 3.6.1 ใช้สารแต่งกลิ่นรส (รสหมู) ร้อยละ 7.5 และ แขนขาวร้อยละ 10 เตรียมโปรตีนเกษตรปรุงแต่งโดยผสมขึ้นโปรตีนกับแขนขาวหลอมเหลวที่อุณหภูมิ  $80^{\circ}\text{C}$  แล้วนำไปดูดน้ำคั้นในสารละลายที่มีสารแต่งกลิ่นรส (รสหมู) ร้อยละ 7.5 จากนั้นทดสอบ ทางประสาทสัมผัสเปรียบเทียบระหว่างเนื้อเทียมปรุงแต่งที่ผลิตจากโปรตีนแปลงเนื้อสัตว์ โดยวิธีแช่แข็งและโปรตีนเกษตร ผลการทดลองมีดังแสดงในตารางที่ 4.31-4.32 และลักษณะผลิตภัณฑ์ที่ได้แสดงดังในรูปที่ 4.34-4.37

ตารางที่ 4.31 คะแนนการทดสอบทางประสาทสัมผัสเนื้อเทียมปรุงแต่งที่ผลิตจากโปรตีนแปลงเนื้อสัตว์ โดยวิธีแช่แข็งและโปรตีนเกษตร (ผลิตโดยกระบวนการ extrusion)

คุณภาพ	คะแนนเฉลี่ย $\pm$ ค่าเบี่ยงเบนมาตรฐาน			
	กระบวนการ extrusion		กระบวนการแช่แข็ง	
	ก่อนปรับปรุงคุณภาพ		หลังปรับปรุงคุณภาพ	
สี	6.85 <sup>a</sup> $\pm$ 0.81	6.55 <sup>a</sup> $\pm$ 0.83	6.70 <sup>a</sup> $\pm$ 0.80	
กลิ่น	6.50 <sup>a</sup> $\pm$ 0.89	4.65 <sup>b</sup> $\pm$ 0.59	6.65 <sup>a</sup> $\pm$ 0.81	
รสชาติ	6.30 <sup>a</sup> $\pm$ 0.80	4.15 <sup>b</sup> $\pm$ 0.36	6.30 <sup>a</sup> $\pm$ 0.73	
ลักษณะปรากฏ	6.60 <sup>a</sup> $\pm$ 1.05	6.60 <sup>a</sup> $\pm$ 0.68	6.80 <sup>a</sup> $\pm$ 1.19	
เนื้อสัตว์	6.40 <sup>a</sup> $\pm$ 0.68	6.45 <sup>a</sup> $\pm$ 0.60	6.35 <sup>a</sup> $\pm$ 0.87	
การยอมรับรวม	6.25 <sup>a</sup> $\pm$ 0.79	4.40 <sup>b</sup> $\pm$ 0.50	6.30 <sup>a</sup> $\pm$ 0.73	

a, b... ตัวเลขที่มีอักษรกำกับต่างกันจากแถวอนเดียวกัน แตกต่างอย่างมีนัยสำคัญ ( $p \leq 0.05$ )

ตารางที่ 4.32 การวิเคราะห์ความแปรปรวนคะแนนการทดสอบทางประสาทสัมผัสของเนื้อเทียมปรุงแต่งที่ผลิตจากโปรตีนแปลงเนื้อสัมผัสโดยวิธีแช่แข็งและโปรตีนเกษตร

SOV	d.f.	MS					
		สี	กลิ่น	รสชาติ	ลักษณะปรากฏ	เนื้อสัมผัส	การยอมรับรวม
Treatment (ชนิดโปรตีน)	2	0.450	24.817*	30.817*	0.267	0.050	23.450*
Block	19	1.119	1.109	0.768	1.193	0.618	0.578
Error	38	0.432	0.343	0.273	0.898	0.489	0.415

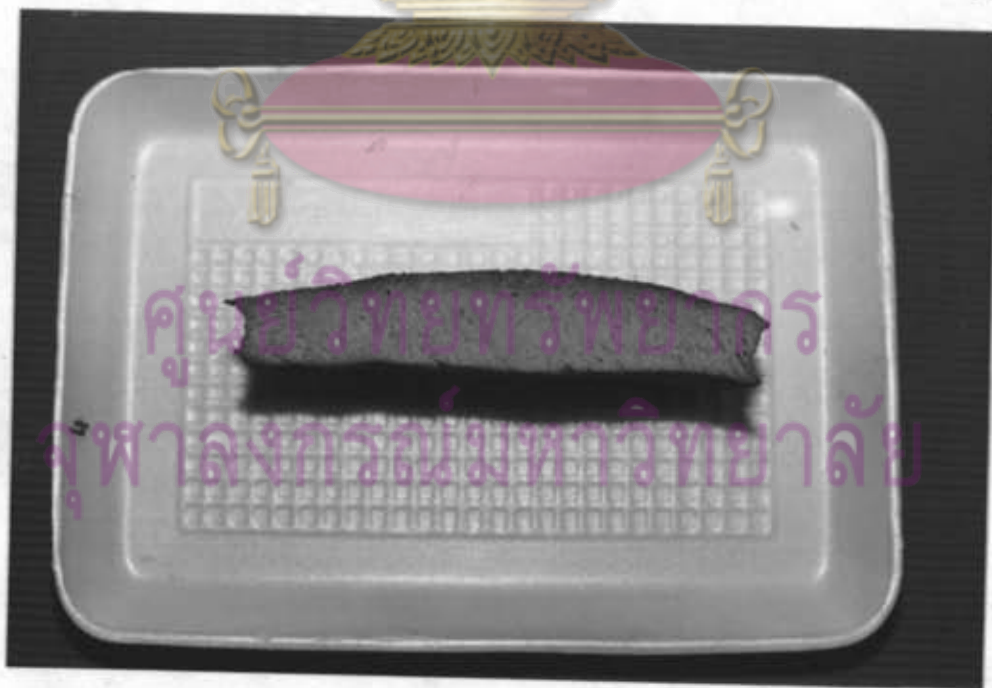
\* แตกต่างอย่างมีนัยสำคัญ ( $p \leq 0.05$ )

ศูนย์วิทยทรัพยากร  
จุฬาลงกรณ์มหาวิทยาลัย

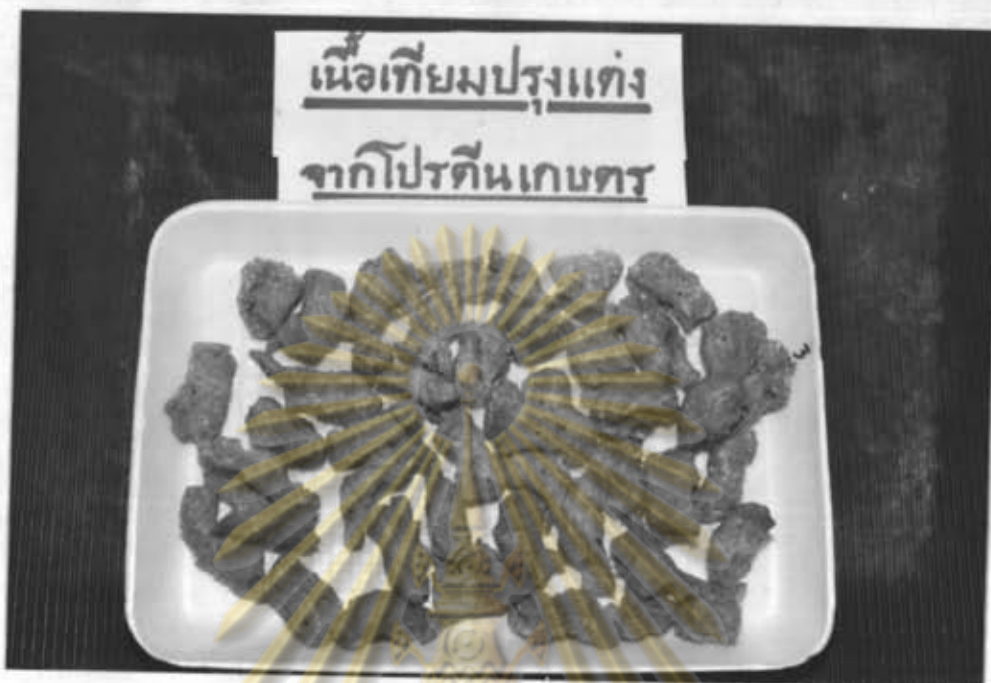




รูปที่ 4.34 เนื้อเทียนปรุงแต่งจากโปรตีนแปลงเนื้อสั้มผัสโดยวิธีแช่แข็งที่ผ่านการปรับปรุงคุณภาพด้านกลิ่นรสแล้ว



รูปที่ 4.35 ภาพตัดขวางของเนื้อเทียนปรุงแต่งจากโปรตีนแปลงเนื้อสั้มผัสโดยวิธีแช่แข็งที่ผ่านการปรับปรุงคุณภาพด้านกลิ่นรสแล้ว



รูปที่ 4.36 เนื้อเทียมปรุงแต่งที่ผลิตจาก โปรตีนเกษตร



รูปที่ 4.37 ชิ้นเนื้อเทียมปรุงแต่งจากโปรตีนแปลงเนื้อสัตว์โดยวิธีแช่แข็งที่ปรับปรุงคุณภาพด้านกลิ่นรสแล้ว (ตัดให้มีขนาดเล็กกลงเพื่อ) เปรียบเทียบกับผลิตภัณฑ์ที่ผลิตจาก โปรตีนเกษตร



รูปที่ 4.38 ชิ้นเนื้อเทียมปรุงแต่งจากโปรตีนแปลงเนื้อสัมผัสโดยวิธีแช่แข็งที่ปรับปรุงคุณภาพด้านกลิ่นรสเปรียบเทียบกับผลิตภัณฑ์ที่ผลิตจากโปรตีนเกษตร

ศูนย์วิทยทรัพยากร  
จุฬาลงกรณ์มหาวิทยาลัย

### 3.6.4 แอมจากเนื้อเทียม

ผลิตแอมจากโปรตีนแปลงเนื้อสัมผัสที่ทำให้โครงสร้างอยู่ตัวด้วยความร้อน และปรับปรุงคุณภาพด้านกลิ่นและรสชาติ (ตามสภาวะที่ดีที่สุดที่สรุปได้จากข้อ 4.3, 4.4 และ 4.6.2) โดยเคียวร์ในสารละลายซึ่งประกอบด้วยสารแต่งกลิ่นรส (รสหมู) ร้อยละ 7.5 เกลือบริโภคร้อยละ 2 หรือ 3 น้ำตาลร้อยละ 3 และ sodium tripolyphosphate ร้อยละ 0.5 เป็นเวลา 24 ชั่วโมง รมควันที่อุณหภูมิ  $60^{\circ}\text{C}$  แปรเวลารมควันเป็น 30, 60 และ 90 นาที นำผลิตภัณฑ์ไปนึ่งให้สุกแล้วทดสอบทางประสาทสัมผัส คะแนนจากการทดสอบแสดงในตารางที่ 4.33-4.34 และลักษณะผลิตภัณฑ์แสดงดังรูปที่ 4.38-4.39

ตารางที่ 4.33 ผลของปริมาณเกลือในสารละลายที่ใช้เคียวร์และเวลารมควันต่อคะแนนการทดสอบทางประสาทสัมผัสแอมจากเนื้อเทียม

ปริมาณเกลือ (ร้อยละ)	เวลารมควัน (นาที)	คะแนนเฉลี่ย $\pm$ ค่าเบี่ยงเบนมาตรฐาน					เนื้อสัมผัส	การยอมรับรวม
		สี	กลิ่น	รสชาติ	ลักษณะปรากฏ			
2	30	6.75 <sup>a</sup> $\pm$ 0.78	5.95 <sup>a</sup> $\pm$ 0.51	6.95 <sup>a</sup> $\pm$ 0.60	6.00 <sup>a</sup> $\pm$ 0.56	6.40 <sup>a</sup> $\pm$ 0.60	6.10 <sup>a</sup> $\pm$ 0.31	
	60	7.35 <sup>a</sup> $\pm$ 0.49	7.10 <sup>a</sup> $\pm$ 0.55	7.00 <sup>a</sup> $\pm$ 0.56	7.00 <sup>a</sup> $\pm$ 0.56	6.25 <sup>a</sup> $\pm$ 0.55	7.00 <sup>a</sup> $\pm$ 0.56	
	90	5.30 <sup>b</sup> $\pm$ 0.57	5.40 <sup>b</sup> $\pm$ 0.88	6.90 <sup>a</sup> $\pm$ 0.72	5.40 <sup>b</sup> $\pm$ 0.50	6.20 <sup>a</sup> $\pm$ 0.52	5.05 <sup>b</sup> $\pm$ 0.39	
3	30	6.80 <sup>a</sup> $\pm$ 0.89	6.20 <sup>a</sup> $\pm$ 0.56	5.50 <sup>b</sup> $\pm$ 0.83	5.95 <sup>a</sup> $\pm$ 0.39	6.20 <sup>a</sup> $\pm$ 0.61	5.25 <sup>b</sup> $\pm$ 0.44	
	60	7.25 <sup>a</sup> $\pm$ 0.64	7.05 <sup>a</sup> $\pm$ 0.60	5.60 <sup>b</sup> $\pm$ 0.82	6.90 <sup>a</sup> $\pm$ 0.55	6.20 <sup>a</sup> $\pm$ 0.52	6.25 <sup>b</sup> $\pm$ 0.44	
	90	5.10 <sup>b</sup> $\pm$ 0.45	5.50 <sup>b</sup> $\pm$ 0.83	5.55 <sup>b</sup> $\pm$ 0.83	5.65 <sup>b</sup> $\pm$ 0.49	6.10 <sup>a</sup> $\pm$ 0.64	5.10 <sup>b</sup> $\pm$ 0.45	

## ศูนย์วิทยทรัพยากร

a, b, c, ... ตัวเลขที่มีอักษรกำกับต่างกันจากแถวตั้งเดียวกันแตกต่างอย่างมีนัยสำคัญ ( $p \leq 0.05$ )

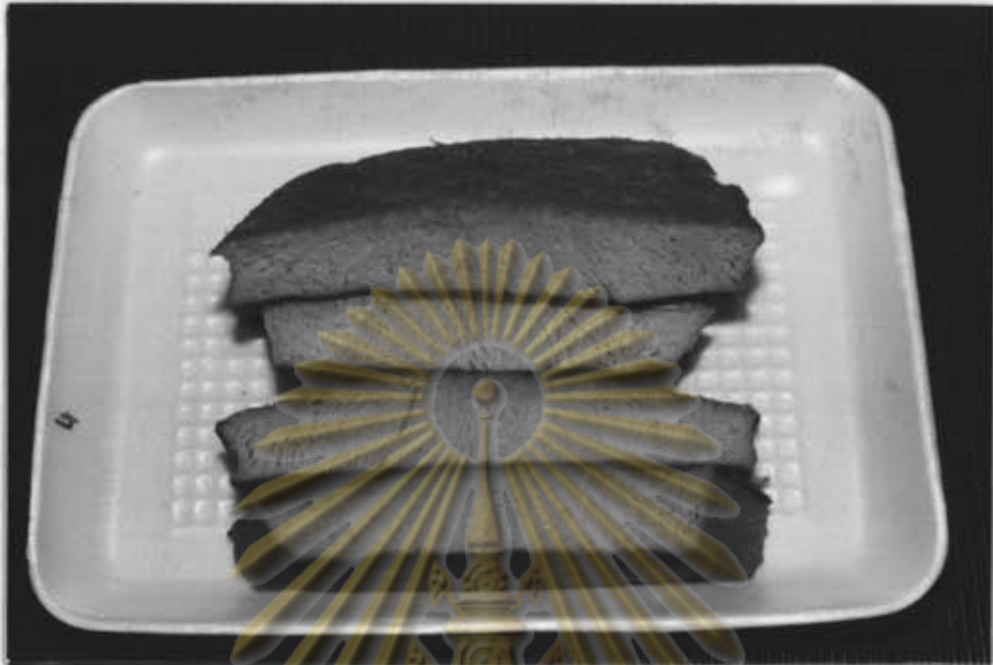
ตารางที่ 4.34 การวิเคราะห์ความแปรปรวนคะแนนการทดสอบทางประสาทสัมผัสแอมจากเนื้อเทียม

SOV	d.f.	MS					
		สี	กลิ่น	รสชาติ	ลักษณะปรากฏ	เนื้อสัมผัส	การยอมรับรวม
ความเข้มข้นเกลือ (A)	1	0.300x10 <sup>-3</sup>	3.320x10 <sup>-3</sup>	58.799*	3.320x10 <sup>-3</sup>	0.408	0.008*
เวลารมควัน (B)	2	51.025*	27.508*	7.495x10 <sup>-3</sup>	21.224*	0.225	24.433*
AB	2	0.208	5.835x10 <sup>-3</sup>	2.514x10 <sup>-3</sup>	0.358	5.835 x 10 <sup>-3</sup>	2.433*
Block	19	0.693	0.789	1.009	0.560	0.426	0.331
Error	95	0.380	0.384	0.446	0.205	0.314	0.166

\* แตกต่างอย่างมีนัยสำคัญ ( $p \leq 0.05$ )

สภาวะที่ดีที่สุดสำหรับผลิตแอมจากเนื้อเทียมคือเคียวรีในสารละลายที่มีเกลือร้อยละ 2 น้ำตาลร้อยละ 3 สารแต่งกลิ่นรส (รสหมู) ร้อยละ 7.5 และ sodium tripolyphosphate ร้อยละ 0.5 รมควันที่ 60°C เป็นเวลา 60 นาที

ศูนย์วิทยทรัพยากร  
จุฬาลงกรณ์มหาวิทยาลัย



รูปที่ 4.39 ภาพตัดขวางของแอมที่ผลิตจากโปรตีนแปลงเนื้อสัตว์โดยวิธีแช่แข็ง  
ที่ปรับปรุงคุณภาพด้านกลิ่นรสแล้วเคี่ยวด้วยสารละลายที่มีเกลือร้อยละ 2 และรมควันที่  $60^{\circ}\text{C}$   
เป็นเวลา 60 นาที



รูปที่ 4.40 ลักษณะของชิ้นแอมจากโปรตีนแปลงเนื้อสัตว์ที่ปรับปรุงคุณภาพด้านกลิ่นรสแล้ว  
ตัดเป็นชิ้นบาง (slice) ขนาดความหนา 1.5 มิลลิเมตร